

Linzer biol. Beitr.	51/1	473-498	26.07.2019
---------------------	------	---------	------------

Zur Identität der von Gaston Fagel beschriebenen Arten der Gattung *Mycetoporus* MANNERHEIM, 1830 mit Beschreibung neuer Arten der *Mycetoporus baudueri*-Gruppe (Coleoptera, Staphylinidae, Tachyporinae)

Michael SCHÜLKE¹

A b s t r a c t : *Mycetoporus* species described by G. FAGEL (1958, 1965) are revised and illustrated. Four species, *M. rondaensis* FAGEL, 1958, *M. praetextus* FAGEL, 1965, *M. laticeps* FAGEL, 1965, and *M. simillimus* FAGEL, 1965 are confirmed as valid. *M. adonis* FAGEL, 1965 is synonymised with *M. ignidorsum* EPPELSHEIM, 1880. A revision of the species of the *M. baudueri* group of Armenia yielded three valid species, *M. phaedrus* (KOLENATI, 1846), which is removed from synonymy with *M. baudueri* MULSANT & REY, 1875, and two species new to science: *M. monticoloides* nov.sp. and *M. praetextoides* nov.sp. For all species of the *M. baudueri* group treated, the habitus and the male primary sexual characters are illustrated, and their distributions are mapped.

K e y w o r d s : Coleoptera, Staphylinidae, Tachyporinae, Mycetoporini, *Mycetoporus*, type revision, new species, new synonymy, Palaearctic region, Caucasus region, Middle East.

Einleitung

Die Gattung *Mycetoporus* MANNERHEIM, 1830 ist in der westlichen Paläarktis mit mehr als 65 Arten und Unterarten verbreitet (SCHÜLKE & SMETANA 2015). Generell muss aber eingeschätzt werden, dass einige Artengruppen noch immer stark revisionsbedürftig sind. Genitaluntersuchungen an Vertretern verschiedener Artengruppen ergaben dementsprechend Überraschungen, teilweise neue Synonymien (z.B. SCHÜLKE 2003a, 2003b, 2004, 2005, 2007) oder das Vorhandensein zusätzlicher Arten auch in Mitteleuropa (SCHÜLKE & KOCIAN 2000, SCHÜLKE 2009).

Als weiter revisionsbedürftig ist besonders die gesamte *M. baudueri* MULSANT & REY, 1875-Gruppe im weiteren Sinne zu betrachten, die offenbar deutlich artenreicher ist, als bisher bekannt war. Zur *M. baudueri*-Gruppe gehören mit *M. altaicus* LUZE, 1901 (= *M. pollinensis* SCHEERPELTZ, 1956, = *M. santicensis* SCHATZMAYR, 1908, = *M. zeithammeri* BERNHAUER, 1902), *M. baudueri* MULSANT & REY, 1875 (= *M. helliesenii* STRAND, 1950, = *M. phaedrus* (KOLENATI, 1846), = *M. puncticollis* PETRI, 1912), *M. bosnicus* LUZE, 1901, *M. caliginosus* SCHÜLKE, 2009, *M. debilis* MÄKLIN, 1847, *M. kahleni* SCHÜLKE, 1996, *M. laticeps* FAGEL, 1965, *M. macrocephalus* BERNHAUER, 1917, *M. monticola* FOWLER, 1888 (= *M. flavigornis* LUZE, 1901), *M. mulsanti* GANGLBAUER, 1895 (= *M. gracilis* LUZE, 1901,

¹ 97. Beitrag zur Kenntnis der Tachyporinae

= *M. tenuis* MULSANT & REY, 1853), *M. oreophilus* BERNHAUER, 1900, *M. piceolus* REY, 1883 (= *M. erichsonanus* FAGEL, 1965, = *M. nanus* (GRAVENHORST, 1806), *M. praetextus* FAGEL, 1965, *M. quadrillum* FAUVEL, 1891, *M. revelierei* REY, 1883 und *M. simillimus* FAGEL, 1965 derzeit 16 westpaläarktische Arten (27 Namen) (SCHÜLKE & SMETANA 2015). Weitere Vertreter der Artengruppe kommen in Nordamerika vor (CAMPBELL 1991). Schwerpunkt der vorliegenden Arbeit bildet die Klärung der durch FAGEL (1958, 1965) beschriebenen ostmediterranen Taxa, sowie die Klärung einiger der im Kaukasus-Gebiet im weiteren Sinne vorkommenden Arten.

FAGEL (1965) beschrieb aus dem Libanon drei zur *M. baudueri*-Gruppe gehörende Arten (*M. laticeps*, *M. praetextus* und *M. simillimus*). Leider stehen die Holotypen der drei Arten zur Bearbeitung nicht zur Verfügung. Sie wurden bereits vor längerer Zeit an einen anderen Bearbeiter ausgeliehen und sind seither nicht in die Sammlung des IRSNB zurückgekehrt bzw. sind nicht aufzufinden. Nachfragen beim letzten Leihnehmer ergaben ebenfalls keine weiteren Erkenntnisse. Lediglich von einer der drei Arten (*M. simillimus*) lagen Paratypen zur Untersuchung vor, unter denen sich aber auch ein Exemplar fand, das der Beschreibung von *M. praetextus* entspricht und als zu dieser Art gehörig angesehen wird. Da damit gerechnet werden kann, dass die Holotypen der drei Arten wieder aufgefunden werden, wurde auf die Designation von Neotypen vorerst verzichtet.

Zur Klärung der drei von Fagel beschriebenen Arten wurde das gesamte aus Israel, dem Libanon und von Zypern vorliegende Material untersucht. Als Ergebnis konnte festgestellt werden, dass das gesamte Material aus drei Arten besteht, die den Beschreibungen Fagels entsprechen und die alle in der Levante weiter verbreitet sind.

Im Rahmen von drei in den Jahren 2016-2018 durch den Autor gemeinsam mit Volker Assing (Hannover) durchgeführten Exkursionen nach Armenien und Berg-Karabach wurden zahlreiche Exemplare aus der *M. baudueri*-Gruppe gesammelt. Die dabei aufgefundenen Arten werden ebenfalls nachfolgend beschrieben.

Material und Methoden

Fundortangaben werden bei Typenmaterial nach den originalen Etiketten zitiert, bei zusätzlich untersuchtem Material teilweise ergänzt oder berichtigt [Ergänzungen und Berichtigungen in eckigen Klammern]. Genitalpräparate wurden in wasserlöslichem Medium (PVP) auf Kunststoffplättchen montiert und unter dem dazugehörigen Exemplar an der gleichen Nadel angebracht bzw. in PVP direkt auf das gleiche Aufklebeplättchen montiert. Messwerte wurden mit Hilfe eines Stereomikroskops Olympus SZH10 bei einer Vergrößerung von 20-70x ermittelt. Aufnahmen im Durchlicht wurden mit einer Digitalkamera vom Typ Nikon Coolpix 990 und einem Digital-Adapter der Firma LM-Scope mit Hilfe eines Mikroskops der Firma PZO (Warschau) angefertigt, Habitus-Aufnahmen mit einer Kamera vom Typ Canon EOS 450D mit Makroobjektiv. Zur Nachbearbeitung der Zeichnungen und Fotos und zur Montage der Tafeln wurden Combine ZP und GIMP 2.10.6 verwendet. Zur Erstellung der Verbreitungskarten diente MapCreator 2 (primap software).

Zur Untersuchung stand Material aus den folgenden Sammlungen zur Verfügung:

DEI..... Deutsches Entomologisches Institut (L. Zerche, L. Behne)

IRSNB..... Institut Royal des Sciences Naturelle de Belgique, Bruxelles (Y. Gerard)

IZAY	Armenian National Academy of Sciences, Institute of Zoology, Yerevan (M. Kalashian, T. Ghrejyan, G. Karagyan)
NHMW	Naturhistorisches Museum Wien (H. Schillhammer)
cApf	Sammlung W. Apfel (Eisenach)
cAss.....	Sammlung V. Assing (Hannover)
cKah.....	Sammlung M. Kahlen (Ferdinandeum Innsbruck)
cKoc.....	Sammlung M. Kocian (Prag)
cMan.....	Sammlung M. Mantič (Hlučín – Bobrovníky)
cSch.....	Sammlung M. Schülke (MNB - Museum für Naturkunde, Berlin)
cWun.....	Sammlung P. Wunderle (Mönchengladbach)

Alle Messwerte werden in mm angegeben, Längen- und Breitenverhältnisse der Antennenglieder in Skalenteilen des Messokulars. Für Messwerte wurden die folgenden Abkürzungen verwendet:

AedL	Gesamtlänge des Aedoegus mit Parameren
AL	Augenlänge (seitlich gemessen)
EBr.....	Breite der Elytren (zusammen)
ENL.....	Nahtlänge der Elytren (Hinterwinkel des Scutellums bis zum Nahtwinkel)
ESL	Schulterlänge der Elytren (Vorderrand an den Schultern bis Hinterrand)
GL	Gesamtlänge (Vorderrand des Clypeus bis Apex des Abdomens)
KBr	Kopfbreite (über den Augen)
KL	Kopflänge (Vorderrand des Clypeus bis Halsabschnürung)
MedLL	Länge des Medianlobus des Aedoegus
PBr	Breite des Pronotums (maximal)
PL.....	Länge des Pronotums (entlang der Mittellinie)
SL.....	Schläfenlänge (Augenhinterrand bis Halsabschnürung)
VKL	Vorderkörperlänge (Vorderrand des Clypeus bis Hinterrand der Elytren)

Zur Identität der von Gaston Fagel beschriebenen Arten der Gattung *Mycetoporus*

***Mycetoporus ignidorsum* EPPELSHEIM, 1880 (Abb. 1a)**

= *Mycetoporus adonis* FAGEL, 1965, nov.syn.

Mycetoporus adonis FAGEL, 1965: 30 locus typicus: Libanon, Kartaba (vallée du Nahr Ibrahim), vers 1300 m, dans des détritus de crue au bord d'un petits ruisseau temporaire, 10.V.1964 (G. Fagel 108).

T y p e n m a t e r i a l : Holotypus: "Liban: Kartaba 1200-1400 m V.1964 G. Fagel / G. Fagel det. sp. apud angularis Rey / G. Fagel det. adonis n. sp. / TYPE [rot] / *Mycetoporus ignidorsum* Eppelsheim det. M. Schülke 2016", 1♀ (IRSNB).

M e s s w e r t e (in mm): AL: 0,24; KBr: 0,54; PBr: 1,01; PL: 0,85; ENL: 0,96; ESL: 1,24; EBr: 1,21; VKL: 2,47; GL: 5,88. Indizes: KBr/PBr: 0,53; PBr/PL: 1,20; PBr/EBr: 0,84; PL/ENL: 0,88; EBr/ESL: 0,98. Längenverhältnis der Antennenglieder I-XI: 13:6:6:5:5:4,75:4,5:4,5:4,5:9,5, Länge/Breite der Antennenglieder I-XI: 3,71:1,71:1,71:1,25:1,05:0,95:0,79:0,72:0,67:0,64:1,36.

D i s k u s s i o n : FAGEL (1965) vergleicht die Art ganz richtig mit *M. angularis* MULSANT & REY, 1853, einer im westlichen Mediterrangebiet weit verbreiteten und häufigen Art. Inzwischen hat sich herausgestellt, dass mit *M. ignidorsum* eine pontomediterran Verbreitete Schwesterart existiert, deren Vorkommen in Vorderasien erst in den letzten Jahrzehnten dokumentiert wurde. Obwohl es sich beim Holotypus von *M. adonis* (Abb. 1a) um ein ♀ handelt, besteht an der Synonymie kein Zweifel, aus dem östlichen Mediterrangebiet sind keine weiteren Arten aus der Verwandtschaft von *M. angularis* bekannt.

Mycetoporus laticeps FAGEL, 1965 (Abb. 1b-e, 6)

Mycetoporus laticeps FAGEL, 1965: 35 locus typicus: Libanon, Kartaba (vallée du Nahr Ibrahim), 1200 m, dans détritus de crue au bord de petits ruisseaux, 6.V.1964 (G. Fagel 100).

T y p e n m a t e r i a l : nicht verfügbar.

W e i t e r e s u n t e r s u c h t e s M a t e r i a l : **GRIECHENLAND:** Kreta: Psiloritis, Nida Plateau, 1510 m, SW Anogia, 35°13'09"N, 24°50'01"E, sifted, 12.IV.2014, leg. V. Assing, 1 Ex. (cSch); **ISRAEL:** Upper Galilee, Ya'ar Bar'am, 683 m, 33°02'21"N, 35°28'26"E, 23.III.2011, leg. H. Meybohm, 1 Ex. (cAss); Golan, Merom Golan, 950 m, 33°06'02"N, 35°47'33"E, 20.III.2011, leg. H. Meybohm, 1 Ex. (cSch); Golan Heights, Mas'ada, Ya'ar Odem Reserve, 934 m, 33°13.449"N, 035°45.184"E, grazing woodland, oaks, litter sifted, 21.IV.2006, leg. D.W.Wrase, 7 Ex. (cSch); Golan Heights, Merom Golan, 936 m, 33°07.970"N, 035°47.502"E, Quercus boissieri/calliprinos forest, leaf litter sifted, 23.IV.2006, leg. D.W.Wrase, 6 Ex. (cSch); Khermon Mts., Khermon Ridge, Har Khavushit, 1800 m, small forest of Quercus libani, leaf litter sifted, 24.III.2008, leg. D.W.Wrase, 1 Ex. (cSch); **TÜRKEI:** **Adana:** 5 km E Kamisli, 1450 m, 37°32'30"N, 34°58'56"E, 26.IV.2011, leg. V. Brachat & H. Meybohm, 3 Ex. (cAss, cSch); **Adiyaman:** 50 km NE Adiyaman, 8 km NE Narince, 870 m, 37°54'58"N, 38°48'45"E, 24.III.2005, leg. V. Assing, 1 Ex. (cSch); 45 km NE Adiyaman, 4 km WNW Narince, 850 m, 37°53'06"N, 38°44'30"E, 24.III.2005, leg. V. Assing, 1 Ex. (cAss); 50 km NE Adiyaman, N Sincik, 1520 m, 38°03'02"N, 38°36'12"E, 23.III.2005, leg. V. Assing, 6 Ex. (cAss, cSch); **Gaziantep:** 28 km WNW Gaziantep, Kartal Dağı, 1100 m, 37°10'11"N, 37°06'28"E, 9.IV.2004, leg. V. Assing, 1 Ex. (cAss); 33 km E Osmaniye, NE Nurdağı Geç, 1520 m, 37°08'19"N, 36°37'09"E, 8.IV.2004, leg. V. Assing, 1 Ex. (cAss); **Hatay:** 19 km S Antakya, SW Senköy, Quercus ilex & laurel, 36°01'48"N, 36°07'19"E, 920 m, 2.IV.2004, leg. V. Assing, 1 Ex. (cAss); **Isparta:** 24 km N Eğirdir, Barla Dağ, 38°05'13"N, 30°45'46"E, 1720 m, under stones, 24.IV.2011, leg. V. Assing, 1 Ex. (cAss); **Kahramanmaraş:** Ahır Dağı, 1400 m, 11 km ENE Kahramanmaraş, 37°42'07"N, 37°13'38"E, 11.IV.2004, leg. V. Assing, 4 Ex. (cAss); Ahır Dağı, 1580 m, 11 km NE Kahramanmaraş, 37°40'48"N, 37°01'49"E, 11.IV.2004, leg. V. Assing, 7 Ex. (cAss, cSch); 20 km SW Kahramanmaraş, Hupurlu env., 560 m, 37°28'21"N, 36°48'45"E, 18.III.2005, leg. V. Assing, 1 Ex. (cAss); gleiche Daten, leg. P. Wunderle, 2 Ex. (cWun, cSch); Paß N Tekir S Göksun, 1400-1550 m, 37°56'56"N, 36°34'E, 26.IV.2004, leg. V. Brachat & H. Meybohm, 1 Ex. (cAss); Kahramanmaraş 50 km > Andırın, Baskonus Yayılası, 1550 m, 37°33'18"N, 36°35'08"E, 24.IV.2007, leg. H. Meybohm & V. Brachat, 1 Ex. (cAss); W Doluca, 40 km SSW Kahramanmaraş, 1040 m, 37°23'10"N, 36°40'51"E, 30.IV.2007, leg. V. Brachat & H. Meybohm, 1 Ex. (cAss); İmalı, 850 m, 37°21'06"N, 36°44'22"E, 21.IV.2009, leg. V. Brachat & H. Meybohm, 1 Ex. (cAss); **Muğla:** 12 km NNE Muğla, 1620 m, grass roots, pine litter, 37°19'02"N, 28°22'26"E, 12.IV.2006, leg. V. Assing, 1 Ex. (cSch); **Şanlıurfa:** Urfa, Atatürk Orman, Pinus brutia-forest, BF, 28.IV.-9.V.2006, leg. Schnitter, 1 Ex. (cSch); **Zypern:** Olympos, N-Hang, 1900 m, Streugesiebe, 10.IV.1995, leg. V. Assing, 27 Ex. (cAss, cSch); Olympos, N-Hang, 1900 m, Streugesiebe, 1.IV.1995, leg. V. Assing, 17 Ex. (cAss, cSch); Troodos Gebirge, Olympos, 1900 m, Pinus, Alnus, 1.IV.1995, leg. P. Wunderle, 26 Ex. (cWun, cSch); Troodos Gebirge, Olympos, 1900 m, Pinus, Alnus, 10.IV.1995, leg. P. Wunderle, 12 Ex. (cWun); N Troodos an B9, 1600 m, Streugesiebe an Pinus, 8.IV.1995, leg. V. Assing, 1 Ex. (cSch); Paphos Forest, Kikkos, 1250 m, N-Seite Gipfel, Moos, Pinus etc., 6.IV.1995, leg. P. Wunderle, 1 Ex. (cWun); B9 N Troodos, 1600 m, alte Pinus, Juniperus foetid, Rinden, 8.IV.1995, leg. P. Wunderle, 1 Ex. (cWun).

M e s s w e r t e (in mm): AL: 0,14-0,17; SL: 0,21-0,22; KBr: 0,42-0,47; KL: 0,47-0,52;

PBr: 0,67-0,78; PL: 0,54-0,68; ENL: 0,64-0,79; ESL: 0,83-1,01; EBr: 0,82-0,96; AedL: 0,43-0,49; MedLL: 0,31-0,36; VKL: 1,73-2,07; GL: 3,21-4,40. Indizes: KBr/PBr: 0,60-0,65; PBr/PL: 1,14-1,26; PBr/EBr: 0,80-0,83; PL/ENL: 0,80-0,83; EBr/ESL: 0,87-1,00. Längenverhältnis der Antennenglieder I-XI: 9,5:4,75:5,4,25:4,25:4:4:4:4:25:7, Länge/Breite der Antennenglieder I-XI: 2,92:1,46:1,67:1,42:1,31:1,00:0,80:0,80:0,76:0,81:1,27.

D i s k u s s i o n : Der Bau der Innenstrukturen des Aedoaeagus (Abb. 1c-e) belegt die Zugehörigkeit der Art zur Verwandtschaft von *M. baudueri* und *M. piceolus*. Unterschiede zu beiden Arten bestehen in der Form des unpaaren Sklerites im Medianlobus des Aedoaeagus, dem breiten Kopf und den mit einer deutlichen Humeralmakel versehenen Elytren (Abb. 1b).

V e r b r e i t u n g u n d B i o n o m i e : Die Art ist in den Gebirgen des südlichen Anatoliens, Israels, des Libanon und Zyperns weit verbreitet und häufig (Abb. 6), auch von Kreta liegt ein Nachweis vor. Die vorliegenden Exemplare wurden meist in unterschiedlichen Waldbiotopen (Laub-, Misch- und Nadelwälder) in Höhen von 680-1900 m aus Bodenstreu gesiebt. Die Nachweise für Israel, die Türkei, Zypern und Griechenland (Kreta) sind Neufunde für die jeweiligen Länder.

***Mycetoporus praetextus* FAGEL, 1965 (Abb. 2b, e, f, 10)**

Mycetoporus praetextus FAGEL, 1965: 38 locus typicus: Libanon, Kartaba (vallée du Nahr Ibrahim), col de la route de Djebail, 1300 m, dans l'humus sous des boissons de chênes, 19.V.1964 (G. Fagel 128).

T y p e n m a t e r i a l : Paratypus (von *M. simillimus*): "Liban: Kartaba 1200-1400 m, 111 V.1964 G. Fagel / G. Fagel det. simillimus n. sp. / Paratype [rot] / *Mycetoporus praetextus* Fagel det. M. Schülke 2016", 1♂ (IRSNB).

W e i t e r e s u n t e r s u c h t e s M a t e r i a l : **TÜRKI:** **Antalya:** N Alanya, 5 km E Gündogmus, 1230 m, 36°49'09"N, 31°56'44"E, 26.IV.2008, leg. V. Brachat & H. Meybohm, 7 Ex. (cAss, cSch); 50 km NE Manavgat, SW Yarpuz, 1360 m, 37°06'48"N; 31°50'21"E, fir forest, 26.XII.2006, leg. V. Assing, 2 Ex. (cAss, cSch); W Kemer, S Hisar, 1120 m, 36°44'02"N, 30°26'23"E, Quercus, Carpinus, 2.IV.2002, leg. V. Assing, 1 Ex. (cAss); Umg. Antalya, S Hisar, 1120 m, 36°43'N, 30°26'E, 23.IV.2001, leg. H. Meybohm, 2 Ex. (cAss); 27 km N Alanya, Sögüt Dağı, SE Gündogmus, 1670 m, 36°48'39"N, 32°01'34"E, 25.XII.2006, leg. V. Assing, 1 Ex. (cAss); Umg. Antalya, Termessos, 700-850 m, 36°59'N, 30°28'E, 21.IV.2001, leg. H. Meybohm & V. Brachat, 1 Ex. (cAss); **Hatay:** Antakya, 25 km S Senköy, 900 m, 36°01'N, 36°07'E, Laurus litter sifted, 27.IV.2002, leg. H. Meybohm, 1 Ex. (cAss); Antakya, Ziyaret Dag W Sungur, 760 m, 35°59'34"N, 36°05'18"E, 21.IV.2004, leg. V. Brachat & H. Meybohm, 2 Ex. (cAss, cSch); Antakya, 9 km SE Iskenderun, 5 km N Belen, 1240 m, forest, 36°31'19"N, 36°14'50"E, 4.IV.2004, lrg. V. Assing, 1 Ex. (cAss); **Kahramanmaraş:** 25 km SW Kahramanmaraş, Yesilyöre, 600 m, 37°27'18"N, 36°46'55"E, 27.III.2005, leg. V. Assing, 1 Ex. (cAss); 70 km WNW Kahramanmaraş, NE Çökak, 1120 m, 37°44'39"N, 36°21'30"E, 26.III.2005, leg. V. Assing, 1 Ex. (cAss); gleiche Daten, leg. P. Wunderle, 3 Ex. (cWun, cSch); **Muğla:** Umg. Muğla, Cakmak, 980 m, 37°10'N, 28°36'E, 2.V.2001, leg. H. Meybohm, 4 Ex. (cAss, cSch); 30 km N Fethiye, Boncuk Dağı, Koru, 1750 m, 36°50'56"N, 29°14'04"E, 2.X.2002, leg. V. Assing, 2 Ex. (cAss, cSch); 15 km ENE Ortaca, 470 m, 36°52'01"N, 28°52'25"E, Pinus, Quercus, Quercus ilex, 27.III.2002, leg. P. Wunderle, 3 Ex. (cWun, cSch); **Niğde:** Demirkazik, 1720 m, Streu an Felsen, 37°50'16"E, 35°05'39"E, 17.V.2009, leg. H. Meybohm, 1 Ex. (cAss); E Madenköy, 37°28'52"N; 34°41'36"E, 1200 m, 17.IV.2011, leg. V. Brachat & H. Meybohm, 1 Ex. (cAss); **ZYPERN:** Akamas Forest, Neo Chorio, 100 m, Streugesiebe, 3.IV.1995, leg. V. Assing, 5 Ex. (cAss); Akamas, Neo Chorion, 150 m, Pinus, Quercus, Pistacia, 3.IV.1995, leg. P. Wunderle, 1 Ex. (cWun); N Troodos an B9, 1600 m, Streugesiebe an Pinus, 8.IV.1995, leg. V. Assing, 7 Ex. (cAss, cSch); B9 N Troodos, N-Hang, Pinus-Gesiebe, 850 m, 4.IV.1995, leg. P. Wunderle, 1 Ex. (cWun); NW Troodos, Kalopanayotis, 600 m,

N-Hang, Streugesiebe, 1.IV.1995, leg. V. Assing, 2 Ex. (cAss, cSch); Troodos-Geb., Caledonian Falls, 1300 m, Streugesiebe, 5.IV.1995, leg. V. Assing, 11 Ex. (cAss, cSch); Troodos, Kaledonian Falls, 1200 m, Pinus, Quercus, Ufer, 5.IV.1995, leg. P. Wunderle, 4 Ex. (cWun, cSch); Paphos Forest, Kykkos > Pera Vasa, N-Hang, 500 m, 9.IV.1995, leg. V. Assing, 9 Ex. (cAss); Paphos Forest, Kykkos > Pera Vasa, Bachschlucht, 400 m, 9.IV.1995, leg. V. Assing, 3 Ex. (cSch); Paphos Forest, Kikkos > Pera Vasa, 800-1000 m, v. a. Quercus, 6.IV.1995, leg. P. Wunderle, 6 Ex. (cWun, cSch); Paphos Forest, Kikkos > Pera Vasa, 400-650 m, 9.IV.1995, leg. P. Wunderle, 10 Ex. (cWun); Paphos Forest, Kykkos, 1250 m, Streu, Moos, Mulf, 6.IV.1995, leg. V. Assing, 1 Ex. (cAss); Paphos Forest, Kikkos, 1250 m, N-Seite Gipfel, Moos, Pinus etc., 6.IV.1995, leg. P. Wunderle, 1 Ex. (cWun); Paphos Forest, Cedar Valley, O-Hang, ca. 700 m, 6.IV.1995, leg. V. Assing, 1 Ex. (cAss); Paphos Forest, 16 km SE Pomos, Bachtal, 24.IV.2004, leg. W. Apfel, 1 Ex. (cApf); S Platres Moniates, Bachtal, Streugesiebe, 700 m, 7.IV.1995, leg. V. Assing, 1 Ex. (cAss); oberhalb Bath of Aphrodite, ca. 100 m, Streugesiebe, 3.IV.1995, leg. V. Assing, 2 Ex. (cAss, cSch); Olympos, N-Hang, 1900 m, Streugesiebe, 1./10.IV.1995, leg. V. Assing, 8 Ex. (cAss, cSch); Troodos-Geb., Olympos, 1900 m, Pinus, Alnus, 10.IV.1995, leg. P. Wunderle, 1 Ex. (cWun); Commandaria, B8 b. Moniatis, 750 m, Bachschlucht, 2.-12.IV.1995, leg. P. Wunderle, 5 Ex. (cWun, cSch); Paphos, Gephyra Kelefou, 430 m, 34°53'19"N, 32°44'54"E, 22.III.2010, leg. H. Meybohm, 2 Ex. (cAss, cSch); Troodos-Gebirge, S Podhromos, 1350 m, Bachschlucht, 1.IV.1995, leg. V. Assing, 1 Ex. (cAss).

M e s s w e r t e (in mm): AL: 0,14-0,16; SL: 0,19-0,22; KBr: 0,42-0,49; KL: 0,52-0,56; PBr: 0,74-0,79; PL: 0,65-0,72; ENL: 0,65-0,78; ESL: 0,86-1,01; EBr: 0,82-0,99; AedL: 0,47-0,57; MedLL: 0,35-0,43; VKL: 1,93-2,17; GL: 3,56-4,69. Indizes: KBr/PBr: 0,56-0,66; PBr/PL: 1,07-1,16; PBr/EBr: 0,78-0,90; PL/ENL: 0,92-0,99; EBr/ESL: 0,94-0,98. Längenverhältnis der Antennenglieder I-XI: 9:5:4,25:3,75:3,5:3,5:3,5:3,5:4:7,5, Länge/Breite der Antennenglieder I-XI: 2,57:1,54:1,42:1,07:0,88:0,82:0,78:0,74:0,70; 0,67:1,20.

D i s k u s s i o n : FAGEL (1965) vergleicht die Art mit *M. baudueri* MULSANT & REY, 1875 und *M. gracilis* LUZE, 1901 [= *M. mulsanti* GANGLBAUER, 1895]. Der letztere Vergleich ist insoweit richtig, dass die Art auf Grund der Form der Innenstrukturen des Aedoaeagus nahe mit *M. mulsanti* verwandt ist. Obwohl habituell beträchtliche Unterschiede existieren (siehe Abb. 2b), sind die Unterschiede in Form und Größe des unpaaren Sklerits im Medianlobus des Aedoaeagus (Abb. 2e, f) nur gering.

V e r b r e i t u n g u n d B i o n o m i e : Die Art ist in den Gebirgen des südlichen Anatoliens, des Libanon und Zyperns weit verbreitet und häufig (Abb. 10). Die vorliegenden Exemplare wurden in unterschiedlichen Waldbiotopen (Laub-, Misch- und Nadelwälder) in Höhen von 100-1900 m aus Bodenstreu und Moos gesiebt. Die Nachweise für die Türkei und Zypern sind Neufunde für die jeweiligen Länder.

Mycetoporus simillimus FAGEL, 1965 (Abb. 2a, c, d, 7)

Mycetoporus simillimus FAGEL, 1965: 37 locus typicus: Libanon, Kartaba (vallée du Nahr Ibrahim), col de la route de Djebail, 1300 m, dans l'humus sous des boissons de chênes, 11.V.1964 (G. Fagel 111).

U n t e r s u c h t e s T y p e n m a t e r i a l : Paratypen: "Liban: Kartaba 1200-1400 m 111 V.1964 G. Fagel / Paratype [rot] / G. Fagel det. simillimus n. sp. / Mycetoporus simillimus Fagel, 1965 det. M. Schülke 2013", 1♂ (IRSNB); "Liban: Kartaba 1200-1400 m 117 V.1964 G. Fagel / Paratype [rot] / G. Fagel det. simillimus n. sp. / Mycetoporus simillimus Fagel, 1965 det. M. Schülke 2013", 1♂, 1♀ (IRSNB); "Liban: Kartaba 1200-1400 m 128 V.1964 G. Fagel / Paratype [rot] / G. Fagel det. simillimus n. sp. / Mycetoporus simillimus Fagel, 1965 det. M. Schülke 2013", 1♀ (IRSNB).

W e i t e r e s u n t e r s u c h t e s M a t e r i a l : **G R I E C H E N L A N D :** Ägäische Inseln: Lesbos, Olympos, 800 m, 39°04'12"N, 26°21'13"E, 20.III.2005, leg. A. Lompe & H. Meybohm,

1 Ex. (cAss); Lesbos, Olymbos, 790 m, 39°04'11"N, 26°20'58"E, 20.III.2005, leg. A. Lompe & H. Meybohm, 2 Ex. (cAss, cSch); Lesbos, Skalohori, 360 m, 39°15'35"N, 26°04'03"E, 22.III.2005, leg. A. Lompe & H. Meybohm, 5 Ex. (cAss, cSch); Lesbos, 10 km E Kaloni, 39°11'12"N, 26°18'35"E, 0 m, 19.III.2005, leg. A. Lompe & H. Meybohm, 1 Ex. (cAss); Lesbos, Skotino, 200 m, 38°15'52"N, 26°12'25"E, 17.III.2005, leg. A. Lompe & H. Meybohm, 1 Ex. (cAss); Lesbos, Lepetimnos, 300 m, 39°21'38"N, 26°16'43"E, 21.III.2005, leg. A. Lompe & H. Meybohm, 1 Ex. (cAss); Samos, Kosmadei, 640 m, 37°45'N, 26°38'E, Streu an Nordhang unter Weißdorn, 1.V.2003, leg. V. Brachat & H. Meybohm, 3 Ex. (cAss, cSch); Samos, Kosmadei, 600 m, 37°44'N, 26°38'E, vor dem Felspfad zur Hohle Kakoperato, 30.IV.2003, leg. V. Brachat & H. Meybohm, 1 Ex. (cAss); Samos, Pandroso, 700 m, 37°43'N, 26°49"E, unter Steinen, Laub und Kiefernrinde, 18.IV.2003, leg. V. Brachat & H. Meybohm, 1 Ex. (cAss); Samos, Umg. Psili Amos, 37°42'47"N, 26°59'11"E, 0-10 m, 17.-25.IV.2003, leg. H. Meybohm & V. Brachat, 4 Ex. (cAss, cSch); Karpathos, Menetes Nordhang, Oros Chomali, 500 m, 19.IV.1999, leg. H. Meybohm, 22 Ex. (cAss, cSch); Karpathos, Olympus, Passhöhe S Prof. Ilias, 450 m, 28.IV.2000, leg. H. Meybohm, 1 Ex. (cAss); Karpathos, Aperi, 200 m, 20.IV.1999, leg. H. Meybohm, 1 Ex. (cAss); Karpathos, Olympos, 250 m, 27.IV.2000, leg. H. Meybohm, 2 Ex. (cAss); Karpathos, Kali Limni, 1000 m, 21.IV.1999, leg. H. Meybohm, 9 Ex. (cAss); Karpathos, Lastos Nordhang, Oros Kolla, 600 m, 16.IV.1999, leg. H. Meybohm, 5 Ex. (cAss, cSch); Rhodos, Salakos, Prof. Ilias, östliche Hotels, 500 m, 9.IV.1999, leg. H. Meybohm, 1 Ex. (cAss); **Ionische Inseln:** Levkas, Felswand bei Apolpene, Streugesiebe, 100 m, 29.IX.1993, leg. V. Assing, 1 Ex. (cAss); Levkas, Vouno-Gipfel, 1050 m, Streugesiebe, 25.IX.1993, leg. V. Assing, 9 Ex. (cAss, cSch); Levkas, Meganoros bei Karia, 800 m, Streugesiebe, 25.IX.1993, leg. V. Assing, 5 Ex. (cAss); Levkas, Lazarata, 400 m, Streugesiebe, 25.IX.1993, leg. V. Assing, 2 Ex. (cAss); Levkas, unterhalb Egklouvi, Bachschlucht, 650 m, 26.IX.1993, leg. V. Assing, 1 Ex. (cAss); **Kreta:** Phalassarna, 24.II.1997, leg. L. Schmidt, 1 Ex. (cAss); Rethimnon, Armeni, Eichenwald, 35°17'N, 24°28"E, 17.III.2001, leg. H. Meybohm, 1 Ex. (cAss); Westkreta, Prases, 800 m, 35°21'N, 23°49"E, 13.III.2001, leg. H. Meybohm, 2 Ex. (cAss); Ostkreta, Nordhang der Katharo Hochfläche, 1000 m, 15.IV.2000, leg. H. Meybohm, 2 Ex. (cAss, cSch); Ostkreta, Nordhang Katharo-Ebene, 1200 m, 15.IV.2000, leg. H. Meybohm, 2 Ex. (cAss); **Mittelgriechenland:** Evvoia, Oros Dirfyos, N Kato Steni, 1120 m, 38°36'30"N, 23°51'46"E, Abies forest, 8.IV.2001, leg. V. Assing, 6 Ex. (cAss, cSch); Fthiotis, Oros Kallidromo SSE Lamia, 800 m, 38°45'29"N, 22°28'08"E, Abies wood, 6.IV.2001, leg. V. Assing, 1 Ex. (cAss); Fthiotis, 30 km W Lamia, W Kalithea, 800 m, 38°53'17"N, 22°05'46"E, Quercus, 16.IV.2000, leg. V. Assing, 1 Ex. (cAss); Fthiotis, Oros Kallidromo, SSE Lamia, 1250 m, 38°44'26"N, 22°31'41"E, 7.IV.2001, leg. V. Assing, 1 Ex. (cAss); gleiche Funddaten, leg. P. Wunderle, 4 Ex. (cWun, cSch); Fthiotis, Oros Kallidromo, SSE Lamia, 940 m, 38°45'29"N, 22°28'08"E, Abies wood, 2.IV.2001, leg. V. Assing, 2 Ex. (cAss, cSch); gleicher Fundort, 6.IV.2001, leg. P. Wunderle, 1 Ex. (cWun); Voiotia, Oros Elikonas, NE Kiriaki, 900 m, 38°22'40"N, 22°49'16"E, Abies wood, 4.IV.2001, leg. V. Assing, 1 Ex. (cAss); **Peloponnes:** Killini-Gebirge, S Trikalon, N-Hang, 1300 m, 37°59'00"N, 22°27'27"E, 31.III.1997, leg. V. Assing, 5 Ex. (cAss); Killini-Gebirge, Ano Trikala, 1450 m, Pinusstreu, 7.VI.1996, leg. P. Wunderle, 4 Ex. (cWun); Killini-Gebirge, Ano Trikala, 2100 m, Gesiebe Gras, 8.VI.1996, leg. P. Wunderle, 1 Ex. (cWun); Killini-gebirge, Ano Trikala, 2000 m, Schneefeldrand, 7.VI.1996, leg. P. Wunderle, 1 Ex. (cSch); 10 km NE Githio, Strandanwurf auf Sand, 36°24'16"N, 22°37'18"E, 26.III.1997, leg. V. Assing, 2 Ex. (cAss); 40 km SE Tripoli, E Agios Petros, 900 m, 37°19'40"N, 22°34'48"E, 22.III.1997, leg. V. Assing, 3 Ex. (cAss); 40 km SE Tripoli, Vourvoura, 920 m, 37°19'51"N, 22°27'22"E, 22.III.1997, leg. V. Assing, 1 Ex. (cAss); 30 km NE Pirgos, Koumani, Hutwald, 630 m, 37°47'17"N, 21°44'33"E, 1.IV.1997, leg. V. Assing, 3 Ex. (cAss); **Thessalien:** 25 km NE Lamia, Oros Othris, 980 m, 39°04'29"N, 22°43'39"E, Quercus, Abies, 3.IV.2001, leg. V. Assing, 25 Ex. (cAss, cSch); gleiche Funddaten, leg. P. Wunderle, 6 Ex. (cWun, cSch); gleiche Funddaten, pasture, leg. P. Wunderle, 3 Ex. (cWun); Pilion Oros, E Vólos, Plateau, 1000 m, 39°22'36"N, 23°01'48"E, 3.IV.1998, leg. V. Assing, 2 Ex. (cAss); Volos, Pelion, 3 km S Zagora, 450 m, N-Hang, Eiche, Kastanie, 3.IV.1998, leg. P. Wunderle, 2 Ex. (cWun); Volos, Pelion Straße > 800 m, Westhang, Eiche, 3.IV.1998, leg. P. Wunderle, 3 Ex. (cWun, cSch); Volos, Pelion, Straße > S-Seite, 1000 m, Ilex, Schneereste, 3.IV.1998, leg. P. Wunderle, 3 Ex. (cWun); Larissa, Kato Olympos, E Kalipefki, N-slope, 1450 m, 39°57'49"N, 22°29'29"E, 6.IV.1998, leg. V. Assing, 7 Ex. (cAss, cSch); Kato Olympos, E Kalipefki – Metamorphosi, 1500-1580 m, 6./12.IV.1998, leg. P. Wunderle, 6 Ex. (cWun, cSch); **ITALIEN:** **Sizilien:** Cattolica (AG), L. Gergo, 18.VI.1996, leg. F. Angelini, 1 Ex. (cSch); Nebrodi, 25 km NW Cesaro, 1300 m, 37°56'25"N, 14°37'53"E, forest clearing, 25.XII.2007, leg. V. Assing, 1 Ex. (cSch); 12 km NE Randazzo, Bosco Malabotta, 1300

m, 37°57'05"N, 15°02'55"E, 24.XII.2007, leg. V. Assing, 1 Ex. (cAss); **LIBANON**: Nabeh Safa, humus sous cistes, 1000 m, V.1966, leg. G. Fagel, 2 Ex. (IRSNB); Nabeh Safa, bois marécageux, 1000 m, V.1966, leg. G. Fagel, 1 Ex. (IRSNB); **TÜRKEI**: **Antalya**: W Kemer, S Hisar, 1120 m, 36°44'02"N, 30°26'23"E, Quercus, Carpinus, 2.IV.2002, leg. P. Wunderle, 1 Ex. (cAss); Antalya, Umg. Manavgat, 0-50 m, 5.I.1991, leg. V. Assing, 1 Ex. (cAss); 60 km SSW Antalya, Çıralı, 40 m, 36°24'34"N, 30°28'05"E, grassland, 4.IV.2002, leg. P. Wunderle, 1 Ex. (cAss); 20 km N Kas, S Karaovabeli Pass, 830 m, 36°23'12"N, 29°42'34"E, Quercus, 26.III.2002, leg. V. Assing, 10 Ex. (cAss, cSch); E Kumluca, 385 m, 36°21'50"N, 30°22'27"E, Laurus, Platanus, 3.IV.2002, leg. V. Assing, 5 Ex. (cAss, cSch); gleiche Daten, leg. P. Wunderle, 1 Ex. (cWun); **Aydın**: 20 km NE Kuyucak, Bayrak Tepe, 850 m, 37°57'56"N, 28°33'23"E, 7.IV.2006, leg. V. Assing, 4 Ex. (cAss, cSch); **Gaziantep**: 25 km WNW Gaziantep, Kartal Dağı, 1070 m, 37°10'53"N, 37°08'29"E, 9.IV.2004, leg. V. Assing, 1 Ex. (cAss); **Izmir**: 20 km E Izmir, Nif Dağı, 920 m, 38°23'48"N, 27°23'58"E, grass roots, shrubs, 26.XII.2015, leg. V. Assing, 2 Ex. (cAss); 20 km E Izmir, Nif Dağı, 1370-1400 m, 38°22'55"N, 27°21'30"E, Pinus, grass, 26.XII.2005, leg. V. Assing, 4 Ex. (cAss, cSch); 20 km E Izmir, Nif Dağı, 1080 m, 38°22'50"N, 27°22'17"E, Pinus litter, grass, 26.XII.2005, leg. V. Assing, 18 Ex. (cAss); Nif Dagi, 1080 m, 38°24'13"N, 27°23'05"E, 24.IV.2006, leg. V. Brachat & H. Meybohm, 2 Ex. (cAss, cSch); Nif Dagi, 970 m, 38°24'19"N, 27°23'31"E, 24.IV.2006, leg. V. Brachat & H. Meybohm, 1 Ex. (cAss); Umg. Kemalpase, Nif Dagi, 972 m, 38°24'19"N, 27°23'32"E, 24.IV.2006, leg. H. Meybohm & V. Brachat, 1 Ex. (cAss); **Mersin**: 20 km NNW Mut, 1390 m, 36°50'00"N, 33°19'01"E, pinus wood with Quercus ilex, 25.XII.2000, leg. V. Assing, 1 Ex. (cAss); **Muğla**: Battı Menteşe above Çukurköy, 37°28'03.8"E, 27°40'56.7"E, 629 m, creek valley, Quercus, Pinus, 17.II.2012, leg. M. Schülke, 1 Ex. (cSch); road Narhisra > İkicitaş, 652 m, 37°27'08.8"N, 27°43'06.6"E, creek valley, Castanea, Platanus 17.II.2012, leg. M. Schülke, 1 Ex. (cSch); Bafa-See, Yediler-Kloster, 230 m, 37°29'56"N, 27°33'28"E, 24.III.2006, leg. I. Meybohm, 2 Ex. (cAss, cSch); Bafa-Se, Südküste, 37°28'39"N, 27°28'41"E, 19.-29.III.2006, leg. Meybohm, 1 Ex. (cAss); SE Fethiye, Baba Dağ, 1705 m, 36°32'16"N, 29°10'20"E, dry litter and grass, 4.VII.2002, leg. V. Assing, 2 Ex. (cAss), 15 km ENE Ortaca, 470 m, 36°52'01"N, 28°52'25"E, Pinus. Quercus, Quercus ilex, 27.III.2002, leg. V. Assing, 4 Ex. (cAss, cSch); gleiche Daten, leg. P. Wunderle, 1 Ex. (cAss); Umg. Fethiye, Kayaköy, 280 m, 36°34'N, 29°06"E, 27.IV.2001, leg. H. Meybohm, 1 Ex. (cAss); Labranda, 550-660 m, 37°25'12"N, 27°49'08"E, 18.IV.2006, leg. H. Meybohm, 1 Ex. (cAss); 20 km NNE Fethiye, 970 m, 36°47'28"N, 29°11'29"E, N-exp. oakwood, 27.III.2002, leg. P. Wunderle, 5 Ex. (cWun, cSch); **Sivas**: W Susehri, Karabay, 40°09'42"N, 37°51'57"E, 1800 m, 17.VII.2008, leg. V. Assing, 1 Ex. (cAss); **ZYPERN**: Troodos Geb., SO Prodromos, Quercus-Best., 1500 m, 1.IV.1995, leg. V. Assing, 1 Ex. (cAss); Troodos Geb., Caledonian Falls, 1300 m, Streugesiebe, 5.IV.1995, leg. V. Assing, 2 Ex. (cAss); Troodos, Kaledonian Falls, 1200 m, Pinus, Quercus, Ufer, 5.IV.1995, leg. P. Wunderle, 1 Ex. (cWun); Troodos Geb., S Prodromos, Bachschlucht, 1350 m, 1.IV.1995, leg. V. Assing, 1 Ex. (cAss); Troodos-Gebirge, Marathassa > Pedoulas Ayios Joannis, 600 m, 1.IV.1996, leg. P. Wunderle, 1 Ex. (cWun); oberhalb Bath of Aphrodite, ca. 100 m, Streugesiebe, 3.IV.1995, leg. V. Assing, 7 Ex. (cAss, cSch); Akamas Forest, Neo Chorio, ca. 100 m, Streugesiebe, 3.IV.1995, leg. V. Assing, 7 Ex. (cAss, cSch); gleicher Fundort, 150 m, 8 Ex. (cAss, cSch); Akamas, Neo Chorio, 150 m, Pinus, Quercus, Pistacia, 3.IV.1995, leg. P. Wunderle, 10 Ex. (cWun, cSch); W Larnaka, Stavrovouni, N-Hang, 500 m, 8.IV.1995, leg. V. Assing, 10 Ex. (cAss); Olympos, N-Hang, 1900 m, Streugesiebe, 1.IV.1995, leg. V. Assing, 1 Ex. (cAss); 25 km SW Platres, Agios Nikolaos, N-Schlucht, 700 m, 11.IV.1995, leg. V. Assing, 4 Ex. (cAss); SW Limassol, Salzsee-Südufer, Streugesiebe, 2.IV.1995, leg. V. Assing, 1 Ex. (cAss); Panaryia, ca. 1000 m, 11.III.1994, leg. H. Meybohm, 6 Ex. (cAss, cSch); Akamas, 17.III.1994, leg. H. Meybohm, 1 Ex. (cAss); Latchi, 9.III.1994, leg. H. Meybohm, 1 Ex. (cAss); Nikosia, Machairia Lazanias, 820 m, 34°56'47"N, 33°10'40"E, 30.III.2010, leg. H. Meybohm, 21 Ex. (cSch); Droseia env., dry litter under tree sifted, 16.IV.2010, leg. P. Hlaváč, 12 Ex. (cAss, cSch); Limassol, Salzsee, 9.III.1996, leg. J. Frisch, 1 Ex. (cSch); Salzsee SW Limasol, Pinus etc., 2.IV.1995, leg. P. Wunderle, 2 Ex. (cWun); SW Limassol, Salzsee-Südufer, Streugesiebe, 2.IV.1995, leg. V. Assing, 1 Ex. (cAss); Bezirk Pafos, Troodos Gebirge, 800-900 m, Stavros tis Psokas, 12+18.IV.2010, leg. I. Wolf, 1 Ex. (cSch); Paphos Forest, Kykkos > Pera Vasa, N-Hang, 500 m, 9.IV.1995, leg. V. Assing, 2 Ex. (cSch); Paphos Forest, Kykkos > Pera Vasa, 400-650 m, 9.IV.1995, leg. P. Wunderle, 2 Ex. (cWun); Paphos Forest, Kikkos, 1250 m, N-Seite, Gipfel, Moos, Pinus etc., 6.IV.1995, leg. P. Wunderle, 1 Ex. (cWun); 35 km SW Platres, Kidasi, ca. 300 m, Diarizo-Ufer/Auwald, 11.IV.1995, leg. V. Assing, 2 Ex. (cSch); Kommanderia, Ayios Nikolaos, 700 m, Kalkgebiet, Moos etc., 11.IV.1995, leg. P. Wunderle, 1 Ex.

(cWun); 10 km O Limasol, Strandanwurf, feuchte Algen, 8.IV.1995, leg. P. Wunderle, 2 Ex. (cWun); W Larnaka, Stavrovouni, 500 m, Macchia, Pinus, 8.IV.1995, leg. P. Wunderle, 19 Ex. (cWun, cSch); W Larnaka, Stavrovouni, N-Hang, 500 m, 8.IV.1995, leg. V. Assing, 1 Ex. (cSch); Troodos Mts., Patres env., pine forest, 21.IV.2010, leg. P. Hlaváč, 1 Ex. (cAss); Cyprus occ., Xeros Potamos, 2 km E Vretsia, 34°53'16"N, 32°40'48"E, 320 m, sifting about river under Platanus, 30.V.2017, leg. M. Mantić, 2 Ex. (cMan, cSch).

M e s s w e r t e (in mm): AL: 0,13-0,15; SL: 0,19-0,21; KBr: 0,38-0,46; KL: 0,44-0,47; PBr: 0,64-0,78; PL: 0,56-0,71; ENL: 0,57-0,72; ESL: 0,74-0,88; EBr: 0,74-0,96; AedL: 0,46-0,51; MedLL: 0,38-0,40; VKL: 1,68-1,95; GL: 3,16-4,05. Indizes: KBr/PBr: 0,56-0,60; PBr/PL: 1,06-1,18; PBr/EBr: 0,80-0,87; PL/ENL: 0,91-1,00; EBr/ESL: 0,97-1,19. Längenverhältnis der Antennenglieder I-XI: 9,5:5,5:6:4:4:4:4:4:2,5:4,5:6,75, Länge/Breite der Antennenglieder I-XI: 2,38:1,69:2,18:1,23:1,14:1,07:1,00:0,89:0,85: 0,86:1,29.

D i s k u s s i o n : FAGEL (1965) vergleicht *M. simillimus* (Abb. 2a) mit *M. baudueri* MULSANT & REY, 1875. Mit dieser Art ist *M. simillimus* aber nicht näher verwandt. Auf Grund der Innenstrukturen des Aedoeagus steht die Art möglicherweise *M. bosnicus* am nächsten. Die Form des Apex des unpaaren Sklerits im Aedoeagus (Abb. 2c, d) ist konstant und für die Art sehr charakteristisch.

V e r b r e i t u n g u n d B i o n o m i e : Die Art ist im südlichen Anatolien, dem Libanon und auf Zypern weit verbreitet und häufig (Abb. 7), sie ist auch in Griechenland häufig und auch aus dem südlichen Italien und Spanien nachgewiesen worden. Die weitere Verbreitung der Art im westlichen Mediterrangebiet ist aber noch zu untersuchen. Die vorliegenden Exemplare wurden in Wäldern, aber auch in offenen Biotopen in Höhen von 0-2100 m m (meist bis 1200 m) aus Bodenstreu gesiebt, nur wenige Funde erfolgten aus größeren Höhen. Nachweise von verschiedenen griechischen Inseln wurde bereits publiziert (ASSING 2015a-c, 2016a, b, 2017a, b, ASSING & al. 2018). Die Nachweise für Italien, die Türkei und Zypern sind Neufunde für die jeweiligen Länder.

***Mycetoporus rondaensis* FAGEL, 1958 (Abb. 5a-c)**

Mycetoporus rondaensis FAGEL, 1958: 234 locus typicus: Espagne: Andalousie: Ronda, puente de la Ventilla (route de Malaga), sous un amas de pierres encombrant de lit d'un ruisseau, 8.-20.V.1956 (G. Fagel).

T y p e n m a t e r i a l : Holotypus: "♂ / Andalousie: Ronda Puente de la Ventilla 8/20-V-1956 G. Fagel / G. Fagel det. rondaensis n. sp. / TYPE [rot] / [rundes grünes Etikett] / *Mycetoporus rondaensis* Fagel det. M. Schülke 2018", 1♂ (IRSNB). Paratypus: "♀ / Andalousie: Ronda Puente de la Ventilla 8/20-V-1956 G. Fagel / G. Fagel det. rondaensis n. sp. / Paratype [rot] / [rundes grünes Etikett] / *Mycetoporus rondaensis* Fagel det. M. Schülke 2018", 1♀ (IRSNB).

D i s k u s s i o n : FAGEL (1965) vergleicht die Art auf Grund ihrer doppelten Borstenpunktreihe auf den Elytren mit *M. punctipennis* SCRIBA, sowie *M. ganglbaueri* LUZE, *M. swaneticus* LUZE und *M. insulanus* LUZE [heute alles Synonyme von *M. punctipennis*]. Holotypus (Abb. 5a) und Paratypus (Abb. 5b) sind leicht immatur. Der Aedoeagus des männlichen Holotypus (Abb. 5c) bestätigt die Zugehörigkeit der Art zur *Mycetoporus lepidus*-Gruppe, erwies sich bei der Präparation aber als nur gering sklerotisiert. Die Innenstrukturen sind nicht deutlich zu erkennen, entsprechen aber im Wesentlichen dem sehr polymorphen *M. punctipennis*.

Folgende Gründe sprechen gegen eine Identität mit *M. punctipennis*:

- Holotypus und Paratypus sind deutlich größer als *M. punctipennis* (VKL: 2,25-2,37 mm, *punctipennis*: 1,83-2,12 mm),

- sie besitzen deutlich längere Elytren (ENL/PL: 1,15-1,16, *punctipennis*: 1,06-1,11),
- deutlich längere Antennen mit wenig queren vorletzten Gliedern,
- ein auf der ganzen Oberfläche mit deutlicher lang quermaschiger Mikroskulptur versehenes Pronotum (Maschenweite 2 Maschen / 10 µm) (*punctipennis* ohne Mikroskulptur),
- deutliche querwellige Mikroskulptur auf den Elytren (Maschenweite 3 Maschen / 10 µm) (*punctipennis* ohne Mikroskulptur) und
- deutliche querwellige Mikroskulptur auf allen Abdominaltergiten (ca. 4-5 Maschen / 10 µm) (*punctipennis*: Tergit III-IV ohne oder mit stark reduzierter Mikroskulptur).

Außerdem sprechen zoogeographische Befunde gegen eine Identität mit *M. punctipennis*, der nächste bekannte Fundort dieser Art liegt etwa 1150 km in nordöstlicher Richtung in Südfrankreich. Nach bisher bekannten Belegen ist die Art pontomediterran verbreitet, was mit einem Vorkommen im Süden von Spanien nicht korrespondiert. *Mycetoporus rondaensis* FAGEL wird deshalb weiter als valide Art gewertet, vermutlich handelt es sich um die Schwesterart von *M. punctipennis* SCRIBA.

Arten der *Mycetoporus baudueri*-Gruppe aus dem Kaukasus und Armenien

Mycetoporus phaedrus (KOLENATI, 1846) (Abb. 3a-g, 8)

Boletobius phaedrus KOLENATI, 1846: 14 locus typicus: Karabach.

T y p e n m a t e r i a l : Lectotypus: "Karabach / Kolenati / phaedrus n.sp. / Baudueri M. det. Luze", 1 Ex. (NHMW).

W e i t e r e s u n t e r s u c h t e s M a t e r i a l : ARMENIEN: [AR16-04] N Yerevan, NW Hrazdan, 40°41'40"N, 44°29'16"E, 2500 m, grassy W-slope with scattered Salix, litter and roots of grass sifted, 26.VI.2016, leg. M. Schülke, 1 Ex. (cSch); [9] – S Martuni, Sulema Pass, 39°57'58"N, 45°14'12"E, 2340 m, near stream, 29.VI.2016, leg. V. Assing, 5 Ex. (cAss, cSch); [10] – S Martuni, Sulema Pass, 39°58'N, 45°14'E, 2340 m, road margin, 29.VI.2016, leg. V. Assing, 2 Ex. (cAss); [AR16-12] 40 km NW Sisian, W-side of Vorotan Pass, 39°42'36"N, 45°40'30"E, 1960 m, dry oak forest, litter and roots sifted, 30.VI.2016, leg. M. Schülke, 2 Ex. (cSch); [13] – 20 km S Sisian, Dastakert, 39°21'50"N, 46°01'27"E, 2080 m, bushes sifted, 1.VII.2016, leg. V. Assing, 16 Ex. (cAss, cSch, IZAY); [AR16-19] 35 km NW Sisian, 39°40'59"N, 45°46'50"E, 2070 m, stream valley, litter beneath bushes near stream sifted 3.VII.2016, leg. M. Schülke, 1 Ex. (cSch); [AR16-22] 20 km W Goris, Shurnukh, 39°21'38"N, 46°24'33"E, 1720 m, Quercus and Carpinus forest, litter and dead wood sifted, 5.VII.2016, leg. M. Schülke, 1 Ex. (cSch); [22] – 20 km W Goris, Shurnukh, 39°21'38"N, 46°24'35"E, 1720 m, forest, sifted, 5.VII.2016, leg. V. Assing, 3 Ex. (cAss); [AR16-23] WSW Kapan, Meghri Pass, 39°07'00"N, 46°09'38"E, 2520 m, moist grassy slope with scattered bushes, litter and grass roots sifted, 6.VII.2016, leg. M. Schülke, 1 Ex. (cSch); [23] – WSW Kapan, Meghri Pass, 39°07'00"N, 46°09'38"E, 2520 m, litter & roots, 6.VII.2016, leg. V. Assing, 1 Ex. (cAss); [30] – 25 km S Kapan, Gomarants Pass, 39°01'32"N, 46°21'59"E, 2190 m, oak forest, 7.VII.2016, leg. V. Assing, 1 Ex. (cAss); [AR16-31] 25 km S Kapan, N Gomarants Pass, 39°02'15"N, 46°22'13"E, 2050 m, oak forest with Acer, Carpinus, and fern undergrowth, litter and dead wood sifted, 7.VII.2016, leg. M. Schülke, 1 Ex. (cSch); [AR16-32] WSW Kapan, S Meghri Pass, 39°05'20"N, 46°10'35"E, 2170 m, oak forest margin, litter (partly moist litter under bushes) sifted, 8.VII.2016, leg. M. Schülke, 1 Ex. (cSch); [AR16-39] 25 km SW Kapan, 39°04'01"N, 46°16'10"E, 2150 m, near stream, litter of Salix and debris sifted, 10.VII.2016, leg. M. Schülke, 3 Ex. (cSch); [39] – 25 km SW Kapan, 39°04'01"N, 46°16'10"E, 2150 m, near stream, sifted, 10.VII.2016, leg. V. Assing, 16 Ex. (cAss); [40] – 25 km SW Kapan, 39°03'04"N, 46°15'16"E, 1890

m, stream valley, sifted, 10.VII.2016, leg. V. Assing, 1 Ex. (cAss); [1] - Gavar, 40°21'01"N, 45°07'45"E, 1950 m, beneath old poplar near river sifted, 25.VI.2017, leg. V. Assing, 1 Ex. (cAss); [AR17-07] mountain range W Gavar, 40°20'40"N, 45°00'52"E, 2250 m, grassy slope, tall herbs and roses, roots and debris sifted, 26.VI.2017, leg. Schülke, 1 Ex. (cSch); [AR17-08] Vardenis mountain range SE Vardenis, 40°02'38"N, 45°46'12"E, 2730 m, stream valley with Salix, litter and roots beneath Salix sifted, 27.VI.2017, leg. Schülke, 4 Ex. (cSch); [8] - moun-tain range SE Vardenis, 40°05'14"N, 45°49'22"E, 2330 m, stream valley, 27.VI.2017, leg. V. Assing, 6 Ex. (cAss); [9] - moun-tain range SE Vardenis, 40°02'38"N, 45°46'12"E, 2730 m, debris nr. stream 27.VI.2017, leg. V. Assing, 2 Ex. (cAss); [9a] - moun-tain range SE Vardenis, 40°02'38"N, 45°46'12"E, 2730 m, roots sifted, 27.VI.2017, leg. V. Assing, 2 Ex. (cAss); [AR17-10] Sevani mountain range E Sevan lake, 40°23'51"N, 45°29'53"E, 2025 m, oak forest margin, litter and roots sifted, 28.VI.2017, leg. Schülke, 1 Ex. (cSch); [10] - Sevani range E Sevan lake, 40°23'51"N, 45°29'53"E, 2025 m, oak forest, 28.VI.2017, leg. V. Assing, 3 Ex. (cAss); [17] - E Dilijan, road Ttujur-Berd 40°44'04"N, 45°18'10"E, 1930 m, trees & bushes, 30.VI.2017, leg. V. Assing, 2 Ex. (cAss); [30] - pass road E Ijevan, 1790 m, 40°52'00"N, 45°13'19"E, forest, litter & roots sift., 6.VII.2017, leg. V. Assing, 3 Ex. (cAss); [AR17-31] pass road E Ijevan, 40°51'51"N, 45°11'52"E, 1630 m, oak and beech forest, litter and roots sifted, 6.VII.2017, leg. Schülke, 1 Ex. (cSch); [31] - pass road E Ijevan, 1630 m, 40°51'51"N, 45°11'52"E, forest, litter & roots sift., 6.VII.2017, leg. V. Assing, 1 Ex. (cAss); [34] - S Spitak, 2070 m, 40°45'34"N, 44°16'23"E, litter and roots sifted, 7.VII.2017, leg. V. Assing, 5 Ex. (cAss); [36] - S Martuni, Sulema Pass, 39°57'58"N, 45°14'13"E, 2340 m, near stream, 8.VII.2017, leg. V. Assing, 2 Ex. (cAss); [37] - 40 km NW Sisian, Vorotan P., 39°41'48"N, 45°41'28"E, 2090 m, sifted, 8.VII.2017, leg. V. Assing, 1 Ex. (cAss); [42] - 40 km NW Sisian, Vorotan P., 39°40'33"N, 45°45'07"E, 2140 m, stream valley, 10.VII.2017, leg. V. Assing, 1 Ex. (cAss); [43] - 40 km NW Sisian, Vorotan P., 39°41'19"N, 45°41'48"E, 2160 m, stream valley, 10.VII.2017, leg. V. Assing, 3 Ex. (cAss); [48] - NW Goris, W Verishen, 39°41'43"N, 46°18'33"E, 1670 m, forest margin, 12.VII.2017, leg. V. Assing, 6 Ex. (cAss); [AR17-49/49b] SW Goris, ESE Tatev, 39°21'47"N, 46°16'52"E, 1950 m, margin of mixed deciduous forest (Quercus, Carpinus, Acer, etc.), litter and roots sifted, 13./14.VII.2017, leg. Schülke, 6 Ex. (cSch); [49/49b] - SW Goris, ESE Tatev, 39°21'47"N, 46°16'52"E, 1950 m, forest margin, 13./14.VII.2017, leg. V. Assing, 12 Ex. (cAss); [27] - WSW Kapan, W Kajaran, 39°09'22"N, 46°06'13"E, 2050 m, mixed forest, 10.VII.2018, leg. V. Assing, 2 Ex. (cAss); [AR18-27a] WSW Kapan, W Kajaran, 39°09'22"N, 46°06'13"E, 2050 m, steep N-slope with mixed deciduous forest, leaf litter and grass roots sifted, 13.VII.2018, leg. M. Schülke, 1 Ex. (cSch); [28] - ca. 30 km W Kapan, 39°15'13"N, 46°04'16"E, 2040 m, forest margin, 11.VII.2018, leg. V. Assing, 1 Ex. (cAss); [32] - SW Kapan, Mt. Khustup, 39°07'50"N, 46°19'55"E, 2980 m, litter near spring 12.VII.2018, leg. V. Assing, 1 Ex. (cAss); [AR18-35] 25 km SW Kapan, Vank, 39°04'01"N, 46°16'10"E, 2150 m, near stream, litter of Salix, roots, and debris sifted, 14.VII.2018, leg. M. Schülke, 3 Ex. (cSch); [35] - 25 km SW Kapan, 39°04'01"N, 46°16'10"E, 2150 m, near stream, sifted, 14.VII.2018, leg. V. Assing, 13 Ex. (cAss); [AR18-38] 20 km SW Sisian, Darbas, 39°25'55"N, 46°06'57"E, 1680 m, margin of secondary deciduous forest, litter and soil sifted, 16.VII.2018, leg. M. Schülke, 1 Ex. (cSch); Goris, 39.5116611°N, 46.322847°E, E slope, deciduous forest, leaf litter sifting, 1700 m, 25.V.2015, leg. M. Kocian, 2 Ex. (cKoc). **NAGORNO-KARABAKH:** [10], NW Stepanakert, 40°01'34"N, 46°28'33"E, 1210 m, mixed forest, 3.VII.2018, leg. V. Assing, 1 Ex. (cAss); [12], WNW Stepanakert, 40°02'02"N, 46°00'10"E, 1630 m, mixed forest, 4.VII.2018, leg. V. Assing, 2 Ex. (cAss); [16], pass 20 km SW Stepanakert, 39°40'40"N 46°39'56"E, 1940 m, 6.VII.2018, leg. V. Assing, 2 Ex. (cAss); [17], pass 20 km SW Stepanakert, 39°41'41"N 46°39'02"E, 1760 m, 6.VII.2018, leg. V. Assing, 1 Ex. (cAss); [19], pass 20 km SW Stepanakert, 39°41'50"N 46°39'00"E, 1730 m, 6.VII.2018, leg. V. Assing, 3 Ex. (cAss); [AR18-23] 13 km W Hadrut, 39°31'05"N, 46°54'19"E, 1760 m, mixed deciduous forest, litter near moist stream bed sifted, 8.VII.2018, leg. M. Schülke, 3 Ex. (cSch); [AR18-25] mountain SE Stepanakert, 39°47'03"N, 46°51'02"E, 1520 m, mixed deciduous forest, litter sifted, 9.VII.2018, leg. M. Schülke, 23 Ex. (cSch); [25], mt. ca. 10 km SE Stepanakert, 39°47'03"N 46°51'02"E, 1520 m, 9.VII.2018, leg. V. Assing, 3 Ex. (cAss). **TÜRKI:** [5a] - Rize, ca. 50 km SSE Rize, Ovitdağı Geç., 2510 m, 40°37'31"N, 40°45'27"E, sifted, 25.VII.2006, leg. M. Schülke, 4 Ex. (cSch); [5a] - Rize, ca. 50 km SSE Rize, Ovitdağı Geç., 2510 m, 40°37'31"N, 40°45'27"E, sifted, 25.VII.2006, leg. V. Assing, 2 Ex. (cAss); Gümüşhane, ca. 50 km SW Trabzon, E Zigana Geç., 2500 m, ca. 40°37'N, 39°26'E, 11.VI.1998, leg. A. Solodovnikov, 2 Ex. (cAss, cSch); [34] - Trabzon, ca. 40 km S Of, S Uzungöl, 2050 m, 40°35'57"N, 40°16'56"E, grass, moss sifted, 4.VIII.2006, leg. V. Assing, 1 Ex. (cAss).

M e s s w e r t e (in mm): AL: 0,15-0,18; SL: 0,19-0,22; KBr: 0,42-0,49; KL: 0,49-0,54; PBr: 0,67-0,83; PL: 0,59-0,72; ENL: 0,68-0,83; ESL: 0,89-1,07; EBr: 0,82-1,01; AedL: 0,50-0,57; MedLL: 0,38-0,44; VKL: 1,93-2,22; GL: 3,53-4,69. Indizes: KBr/PBr: 0,58-0,63; PBr/PL: 1,10-1,16; PBr/EBr: 0,77-0,86; PL/ENL: 0,83-0,92; EBr/ESL: 0,91-0,97. Längenverhältnis der Antennenglieder I-XI: 9:5,5:5:4,5:4,5:4,5:4,5:4,75:4,75:8,5, Länge/Breite der Antennenglieder I-XI: 2,40:1,69:2,00:1,50:1,29:1,13:1,00:0,90:0,86:0,86:1,55.

D i s k u s s i o n : LUZE (1901) hat den vorliegenden Typus (Abb. 3b) untersucht und für identisch mit *M. baudueri* gehalten. Entsprechend Artikel 74.5 der Nomenklaturregeln (ICZN 1999) ist seine Anmerkung "Bolitobius Phaedrus Kolen. (Melet. ent. III, 14), von dem die Type vorliegt..." als Designation eines Lectotypus zu werten. Die Art ist *M. baudueri* und *M. piceolus* auch sehr ähnlich (Abb. 3a), unterscheidet sich aber durch den schlanken Kopf von *M. piceolus*, durch die Innenstrukturen des Aedoeagus (Abb. 3d-g) von *M. baudueri*.

V e r b r e i t u n g u n d B i o n o m i e : Die Art ist in Armenien und Berg-Karabach von montanen Wäldern bis in die alpine Stufe weit verbreitet und häufig (Abb. 8). Sie kommt auch im Pontischen Gebirge im Norden Anatoliens vor und dürfte auch in den Nachbarländern (Georgien, Aserbaidschan, Iran) noch aufzufinden sein. Die vorliegenden Exemplare wurden in Höhenlagen von 1200-2980 m (zahlreiche Fundorte oberhalb 2000 m) an Waldrändern, in Busch- und Staudenfluren, entlang von Bachläufen oder entlang von Felsen aus Bodenstreu und Wurzeln gesiebt.

***Mycetoporus monticoloides* nov.sp. (Abb. 4a, b, d-f, 9)**

T y p e n m a t e r i a l : Holotypus ♂: "Transcauc. Georgia Mzcheta pr. Tbilisi 4.-23.VI.1987 leg. Wrase/Schülke" / HOLOTYPE Mycetoporus monticoloides spec. nov. det. M. Schülke 2018 [rot] (cSch).

Paratypen: **ARMENIEN:** "ARMENIA [AR16-07] N Yerevan, NW Hrazdan, 40°38'06"N, 44°27'37"E, 2110 m, stream valley, mixed deciduous forest, litter and grass roots sifted, 28.VI.2016, leg. M. Schülke", 1 Ex. (cSch); "ARMENIA [23] – N Vanadzor, Pushkin pass, 40°54'00"N, 44°25'55"E, 1780 m, forest sifted, 1.VII.2017, V. Assing", 2 Ex. (cAss); "ARMENIA [AR18-27a] WSW Kapan, W Kajaran, 39°09'22"N, 46°06'13"E, 2050 m, steep N-slope with mixed deciduous forest, leaf litter and grass roots sifted, 13.VII.2018, leg. M. Schülke", 1 Ex. (cSch); "ARMENIA [AR18-30a] 30 km W Kapan, 39°14'36"N, 46°08'28"E, 1680 m, river bank, litter and debris sifted, 11.VII.2018, leg. M. Schülke", 1 Ex. (cSch); "Transkaukasien, Jerewan 50 km N, Zachkadzor, 2300 m, 20.9.87, Oehlke", 1 Ex. (cSch). **GEORGIA:** "Transcauc. Georgia Mzcheta pr. Tbilisi 4.-23.VI.1987 leg. Wrase/Schülke", 3 Ex. (cSch); "Transcauc. Georgia Zchneti pr. Tbilisi, 800 m, 1.-10.VI.1987, leg. Wrase/Schülke", 1 Ex. (cSch); "N42°53'29 E43°08'32 Koruldashi 3 km s 1790 m GG Zemo Svaneti (36) I. Meybohm 1.8.2016", 3 Ex (cAss, cSch); "N42°40'03 E44°36'47 (22) GG Zentral-Kaukasus Stepantsminda 2120 m Brachat & Meybohm 20.7.2015", 2 Ex. (cAss, cSch); "N42°54'49 E43°05'34 (18) Georgien Svaneti Ushguli Zagaro Pass 2600 m, Brachat & Meybohm 29.6.2017", 1 Ex. (cAss); "N42°51'54 E43°09'47 (22) Georgien Svaneti Ushguli – Lentekhi 1530 m Brachat & Meybohm 1.7.2017", 3 Ex. (cAss, cSch); "N43°06'15 E42°35'50 (12) Georgien Svaneti Mazeri 1660 m Brachat & Meybohm 26.6.2017", 3 Ex. (cAss, cSch); "N41°39'49 E44°17'53 (5) GG Algeti Nat. Park manglisi – Tsalka 1580 m, Brachat & Meybohm 12.7.2015", 3 Ex. (cAss, cSch). **NAGORNO-KARABACH:** NAGORNO-KARABAKH – [12], WNW Stepanakert, 40°02'02"N, 46°00'10"E, 1630 m, mixed forest, 4.VII.2018, V. Assing", 1 Ex. (cAss); **RUSSLAND:** "RU[10a] – W Caucasus, 16 km ENE Krasnaya Polyana, 2040 m, 43°43'04"N, 40°23'41"E, 17.VII.2011, V. Assing", 1 Ex. (cAss); "RU[16] – W Caucasus, 13 km SW Teberda, 1450 m, spruce forest, 43°19'54"N, 41°39'58"E, 22.VII.2011, V. Assing", 11 Ex. (cAss, cSch); "RU[17] – W Caucasus, 20 km SW Teberda, Dombai, 2160 m, 43°17'30"N, 41°38'37"E, 23.VII.2011, V. Assing", 16 Ex. (cAss, cSch); "RU[23] – W Caucasus, 20 km SW Teberda, above Dombai, 1950 m, 43°17'28"N,

41°38'16"E, 25.VII.2011, V. Assing", 19 Ex. (cAss, cSch, IZAY); "RU[24] – W Caucasus, 9 km SW Teberda, Teberdinski range, 2000 m, 43°22'40"N, 41°39'38"E, 26.VII.2011, V. Assing", 6 Ex. (cAss, cSch); "RU[25] – W Caucasus, 9 km SW Teberda, Teberdinski range, 2000 m, 43°22'40"N, 41°39'38"E, 27.VII.2011, V. Assing", 3 Ex. (cAss, cSch); "RUSSIA (N Caucasus): Karachaevo-Cherkessia, ca. 12 km SW of Teberda, Baduk lakes at E slopes of Teberdinskij range / N43°22.591° E41°39.644°, h 2000m, 26, 27 VII. 2011, A. Solodovnikov, spruce-fir-beech forest with rhododendron, sifting leaf litter, ZMUC", 8 Ex. (ZMUC, cSch); "RUSSIA (N Caucasus): Karachaevo-Cherkessia, 2-3 km NE of Dombai, SW slopes of Musat-Cheri range N43°17.444° E41°38.247° / h 2000m, spruce-beech –fir forest, sifting leaf litter 25.VII.2011 A. Solodovnikov ZMUC", 14 Ex. (ZMUC, cSch); "RUSSIA (N Caucasus): Karachaevo-Cherkessia, ca. 15 km SW of Teberda, near mouth of river Gonachkhi N43°19.854° E41°39.926° / h 1500m beech-spruce forest, sifting leaf litter 22, 24.VII.2011 A. Solodovnikov & M. Kaae ZMUC", 6 Ex. (ZMUC, cSch). **TÜRKEI:** "TR [33] – Giresun, 40 km S Giresun, Schitler Geç., 40°33'37"N, 38°27'04"E, 1790 m, 23.VII.2008, V. Assing", 1 Ex. (cAss); "TR [3] Gümüşhane, ca. 25 km SW Gümüşhane Tersundağı Geç. 2070 m, 40°17'38"N, 39°18'02"E, 24.VII.2006, V. Assing", 5 Ex. (cAss); "TR – Rize, ca. 40 km SSW Hopa, source of Çağlayan D., 2700-2900 m, ca. 41°06'N, 41°22'E, 25.VI.1998, Solodovnikov", 2 Ex. (cAss); "TR – Rize, ca. 30 km SW Hopa, river valley of Çağlayan D., 1000-1300 m, ca. 41°10'N, 41°19'E, 28.VI.1998, Solodovnikov", 1 Ex. (cAss); "TR [1] – Rize, 32 km SSE Ardeşen, SE Ayder, 1730 m, mixed forest, 40°55'35"N, 41°08'56"E, 10.VII.2008, V. Assing", 6 Ex. (cAss); "TR [7a] – Rize, ca. 50 km SSE Rize, Ovitdağ Geç., 2850 m, sifted, 40°37'N, 40°47'E, 25.VII.2006, M. Schülke", 1 Ex. (cSch); "TR [9] – Trabzon, ca. 40 km S Trabzon, Altindere Milli Park, 1560 m, 40°39'46"N, 39°40'08"E, 26.VII.2006, V. Assing", 7 Ex. (cAss); "TR [9] – Trabzon, ca. 40 km S Trabzon, Altindere Milli Park, 1560 m, 40°39'46"N, 39°40'08"E, 26.VII.2006, Schülke", 4 Ex. (cSch). Alle Paratypen mit einem Etikett "PARATYPUS Mycetoporus monticoloides spec. nov. det. M. Schülke 2018 [rot]".

M e s s w e r t e (in mm): AL: 0,13-0,14; SL: 0,20-0,22; KBr: 0,36-0,44; KL: 0,44-0,56; PBr: 0,64-0,78; PL: 0,54-0,69; ENL: 0,49-0,65; ESL: 0,64-0,85; EBr: 0,67-0,90; AedL: 0,47-0,53; MedLL: 0,36-0,42; VKL: 1,63-1,98; GL: 3,06-4,00. Indizes: KBr/PBr: 0,54-0,59; PBr/PL: 1,11-1,18; PBr/EBr: 0,85-0,96; PL/ENL: 1,02-1,21; EBr/ESL: 1,00-1,08. Längenverhältnis der Antennenglieder I-XI: 8:5:4,5:3:3:3:3,25:3,5:3,75:7, Länge/Breite der Antennenglieder I-XI: 2,00:1,67:1,80:1,00:0,86:0,75:0,67:0,65:0,70: 0,68:1,27.

B e s c h r e i b u n g : Vorderkörper einheitlich hell- bis dunkelbraun, Kopf oft, die gemeinsame Mitte der Elytren manchmal geschwärzt. Abdomen dunkelbraun bis schwarz, Hinterränder der Segmente breit aufgehellt. Beine, Antennen, Maxillar- und Labialpalpen gelbbraun, Antennen zum Apex hin kaum gebräunt.

Habitus schlank (Abb. 4a, b), Körpergröße je nach Präparation 3-4 mm, Vorderkörperlänge 1,6-2,0 mm.

Kopf schmal und gestreckt, deutlich länger als breit (KBr/KL: 0,76-0,81), Augen klein, deutlich kürzer als die hinter den Augen etwas erweiterten und breit abgerundeten Schläfen (AL/SL: 0,56-0,67). Schläfen unter den Augen komplett gerandet, die Randung in den Hinterecken des Kopfes auslaufend. Entfernung des Augenunterrandes von der Schläfenrandung etwa 20 µm, Entfernung des Augenvorderrandes von der Antennenbasis etwa 70 µm. Supraorbitalborste kräftig, der Borstenpunkt nahe am Innenrand der Augen stehend. Oberfläche des Kopfes mit kaum sichtbarer weitläufiger und unregelmäßiger Mikropunktur. Mikroskulptur reduziert, nur in der Mitte des Kopfes mit unregelmäßigen Maschen. Antennen wenig gestreckt und etwas abgeplattet. Glieder I-III gestreckt, Glieder ab IV kürzer, stärker abgeplattet und apikal verbreitert, Glied IV etwa so lang wie breit, die folgenden Glieder deutlich quer, Endglied kurz, nur um ein Viertel länger als breit. Glieder I und II nur mit wenigen Tastborsten, Glied III und IV kürzer und dichter beborstet, ab Glied V mit dichter feiner Pubeszenz.

Pronotum wenig quer (PBr/PL: 1,11-1,18), kräftig gewölbt. Die nach unten umgebogenen

Vorderwinkel sind rechtwinklig und kurz abgerundet, die Hinterecken völlig abgerundet. Pronotum an Vorder- und Seitenrand schmal gerandet, ohne zusätzliche Borstenpunkte. Vorderrandpunkte um mehr als das Doppelte ihres Durchmessers vom Vorderrand entfernt, mittlere Hinterrandpunkte etwas näher am Hinterrand stehend. Oberfläche des Pronotums mit feiner und weitläufiger Mikropunktur. Mikroskulptur bis zum Vorderrand deutlich, querwellig, Maschenweite etwa zwei Maschen / 10 µm.

Elytren kurz und breit, ihre Nahtlänge kleiner als die Länge des Pronotums (PL/ENL: 1,02-1,21, zusammen etwas breiter als an den Schultern lang (EBr/ESL 1,00-1,08). Auf den Elytren befindet sich eine aus 7-10 Borstenpunkten bestehende Diskalborstenreihe und eine aus sechs bis sieben Borsten bestehende interiore Diskalreihe. Die Anzahl der Suturalborsten beträgt sieben bis neun. Oberfläche der Elytren mit etwas dichterer, querwelliger Mikroskulptur als auf dem Pronotum, Maschenweite etwa drei Maschen / 10 µm. Hautflügel reduziert.

Abdomen nach hinten schmäler werdend, wenig zugespitzt. Tergite IV-VII mit kräftiger, zum Hinterrand reduzierter Punktur und einer 80-140 µm langen, hellen Beborstung. Tergit III in der Mitte weitgehend unpunktiert. Hautsaum (palisade setae) am Hinterrand von Tergit VII meist vorhanden, manchmal bis auf einzelne Börstchen reduziert. Mikroskulptur auf dem Abdomen von ähnlicher Maschenweite wie auf den Elytren, querwellig bis lang quermaschig.

Beine kurz und kräftig, Tibien kräftig beborstet.

♂: Vordertarsen nicht erweitert, Sternite VII und VIII ohne Ausrandungen am Hinterrand oder geschlechtstypische Beborstung. Aedoeagus (Abb. 4d-f) 0,47-0,53 mm lang, apikal kurz abgerundet. Innenstrukturen aus einem glockenförmigen unpaaren Sklerit und basalen Borstengruppen bestehend. Apex des unpaaren Sklerits mit zwei schmalen, dicht nebeneinander liegenden Spitzen. Parameren schmal, mit vier großen und vier kleinen Borsten.

D i f f e r e n t i a l d i a g n o s e : *Mycetoporus monticoloides* unterscheidet sich wie folgt von den anderen aus dem Kaukasus und Vorderasien bekannten Arten der *M. baudueri*-Gruppe:

- von *M. laticeps* FAGEL, *M. simillimus* FAGEL und *M. phaedrus* KOLENATI durch die helle Färbung, die bis zum Vorderrand des Pronotums reichende Mikroskulptur, kürzere Elytren und unterschiedliche Innenstrukturen des Aedoeagus,
- von *M. praetextus* FAGEL und *M. praetextoides* nov.sp. durch die teilweise hellere Färbung, kürzere Elytren und unterschiedliche Innenstrukturen des Aedoeagus.

Von *M. mulsanti*, mit dem die Art bisher verwechselt wurde (LUZE 1901), unterscheidet sie sich durch den Aedoeagus mit völlig anderen Innenstrukturen. Von *M. monticola*, dem die Art am ähnlichsten ist, ist sie durch etwas kürzere Elytren und unterschiedliche Innenstrukturen des Aedoeagus zu unterscheiden.

D e r i v a t i o n o m i n i s : Der Artname *monticoloides* bezieht sich auf die Ähnlichkeit der Art mit *M. monticola* (FOWLER).

V e r b r e i t u n g u n d B i o n o m i e : Aus Russland, Georgien, Armenien, Berg-Karabach und der Türkei bekannt (Abb. 9). Die vorliegenden Exemplare wurden in Höhenlagen zwischen 450 und 2850 m aus Streu an Rändern verschiedener Laub-, Misch- und Nadelwälder, auch in Galeriewald in der Nähe von Bachufern, aus Laubstreu, Wurzeln

und Genist gesiebt. In der Umgebung von Mzcheta (Georgien) wurde die Art in verbuschten bzw. locker bewaldeten Uferbereichen entlang des Aragwi in etwa 450-600 m Höhe gesammelt.

***Mycetoporus praetextoides* nov.sp. (Abb. 4c, g, h, 10)**

T y p e n m a t e r i a l : Holotypus ♂: "ARMENIA [AR17-49b] SW Goris, ESE Tatev, 39°21'47"N, 46°16'52"E, 1950 m, margin of mixed deciduous forest (*Quercus*, *Carpinus*, *Acer*, etc.), litter and roots sifted, 14.VII.2017, leg. Schülke / HOLOTYPE Mycetoporus praetextoides spec. nov. det. M. Schülke 2018 [rot]" (cSch). Paratypen: ARMENIEN: "ARMENIA [AR16-04] N Yerevan, NW Hrazdan, 40°41'40"N, 44°29'16"E, 2500 m, grassy W-slope with scattered *Salix*, litter and roots of grass sifted, 26.VI.2016, leg. M. Schülke", 1 Ex. (cSch); "ARMENIA [AR16-32] WSW Kapan, S Meghri Pass, 39°05'20"N, 46°10'35"E, 2170 m, oak forest margin, litter (partly moist litter under bushes) sifted, 8.VII.2016, leg. M. Schülke", 33 Ex. (cSch); "ARMENIA [32]-WSW Kapan, S Meghri Pass, 39°05'20"N, 46°10'35"E 2170 m, forest margin, 8.VII.2016, V. Assing", 33 Ex. (cAss, cSch); "ARMENIA [AR16-39] 25 km SW Kapan, 39°04'01"N, 46°16'10"E, 2150 m, near stream, litter of *Salix* and debris sifted, 10.VII.2016, leg. M. Schülke", 1 Ex. (cSch); "ARMENIA [39]- 25 km SW Kapan, 39°04'01"N, 46°16'10"E, 2150 m, near stream, sifted, 10.VII.2016, V. Assing", 24 Ex. (cAss, cSch, IZAY); "ARMENIA [34] - S Spitak, 2070 m, 40°45'34"N, 44°16'23"E, litter and roots sifted, 7.VII.2017, V. Assing", 2 Ex. (cAss); "ARMENIA [38] - E Goris, Khndzoresk env., 39°31'32"N, 46°24'21"E 1590 m, sifted, 9.VII.2017, V. Assing", 2 Ex. (cAss); "ARMENIA [AR17-39] E Goris, Khndzoresk env., 39°30'58"N, 46°27'21"E, 1350 m, slope with dense small trees, litter and grass roots sifted, 9.VII.2017, leg. Schülke", 2 Ex. (cSch); "ARMENIA [49b] - SW Goris, ESE Tatev, 39°21'47"N, 46°16'52"E 1950 m, forest margin, 14.VII.2017, V. Assing", 1 Ex. (cAss); "ARMENIA [27] - WSW Kapan, W Kajaran, 39°09'22"N, 46°06'13"E 2050 m, mixed forest, 10.VII.2018, V. Assing", 1 Ex. (cAss); "ARMENIA [27a]-WSW Kapan, W Kajaran, 39°09'22"N, 46°06'13"E 2050 m, mixed forest, 13.VII.2018, V. Assing", 2 Ex. (cAss); "ARMENIA [AR18-30a] 30 km W Kapan, 39°14'36"N, 46°08'28"E, 1680 m, river bank, litter and debris sifted, 11.VII.2018, leg. M. Schülke", 1 Ex. (cSch); "ARMENIA [AR18-35] 25 km SW Kapan, Vank, 39°04'01"N, 46°16'10"E, 2150 m, near stream, litter of *Salix*, roots, and debris sifted, 14.VII.2018, leg. M. Schülke", 4 Ex. (cSch); "ARMENIA [35]- 25 km SW Kapan, 39°04'01"N, 46°16'10"E, 2150 m, near stream, sifted, 14.VII.2018, V. Assing", 7 Ex. (cAss). **NAGORNO-KARABACH**: "NAGORNO-KARABAKH - [12], WNW Stepanakert, 40°02'02"N, 46°00'10"E 1630 m, mixed forest, 4.VII.2018, V. Assing", 3 Ex. (cAss); "NAGORNO-KARABAKH [AR18-18] pass 20 km SW Stepanakert, 39°41'35"N, 46°39'00"E, 1760 m, stream bank with *Salix*, litter and roots sifted, 6.VII.2018, leg. M. Schülke", 1 Ex. (cSch); "NAGORNO-KARABAKH - [19], pass 20 km SW Stepanakert, 39°41'50"N 46°39'00"E, 1730 m, 6.VII.2018, V. Assing", 1 Ex. (cAss); "NAGORNO-KARABAKH [AR18-23] 13 km W Hadrut, 39°31'05"N, 46°54'19"E, 1760 m, mixed deciduous forest, litter near moist stream bed sifted, 8.VII.2018, leg. M. Schülke", 5 Ex. (cSch); "NAGORNO-KARABAKH - [23], 13 km W Hadrut, 39°31'05"N 46°54'19"E, 1760 m, mixed forest, 8.VII.2018, V. Assing", 2 Ex. (cAss). Alle Paratypen mit einem Etikett "PARATYPUS Mycetoporus praetextoides spec. nov. det. M. Schülke 2018 [rot]".

M e s s w e r t e (in mm): AL: 0,13-0,15; SL: 0,18-0,21; KBr: 0,38-0,40; KL: 0,47-0,51; PBr: 0,64-0,72; PL: 0,56-0,64; ENL: 0,60-0,69; ESL: 0,81-0,89; EBr: 0,73-0,85; AedL: 0,42-0,49; MedLL: 0,31-0,36; VKL: 1,73-1,88; GL: 3,16-3,95. Indizes: KBr/PBr: 0,54-0,60; PBr/PL: 1,10-1,17; PBr/EBr: 0,83-0,91; PL/ENL: 0,90-1,00; EBr/ESL: 0,91-0,98. Längenverhältnis der Antennenglieder I-XI: 9:5:4,5:4,25:4:4:4:4:4:2,5:7,25, Länge/Breite der Antennenglieder I-XI: 2,25:1,67:1,50:1,42:1,14:1,00:1,00:0,91:0,80: 0,81:1,38.

B e s c h r e i b u n g: Kopf schwarz, Pronotum schwarzbraun mit breit aufgehelltem Hinterrand, manchmal insgesamt heller, rotbraun. Elytren dunkel- bis schwarzbraun mit aufgehellten Schultern und hellem Hinterrand. Abdomen schwarz, Hinterränder der Segmente vorn schmal, hinten breiter aufgehellt. Beine, Antennen, Maxillar- und Labialpalpen gelb bis gelbbraun, Antennen zum Apex hin kaum gebräunt.

Habitus schlank (Abb. 4c), Körpergröße je nach Präparation 3-4 mm, Vorderkörperlänge 1,7-1,9 mm.

Kopf gestreckt, deutlich länger als breit (KBr/KL: 0,77-0,80), Augen mäßig groß, deutlich kürzer als die hinter den Augen breit abgerundeten Schläfen (AL/SL: 0,68-0,77). Schläfen vollständig gerandet, Entfernung des Augenunterrandes von der Schläfenrandung ca. 15 µm, Entfernung des Augenvorderrandes von der Antennenbasis ca. 60 µm. Oberfläche des Kopfes unpunktiert, Supraorbitalborstenpunkt deutlich, mit ca. 150 µm langer Tastborste. Mikroskulptur fast völlig reduziert, nur in der vorderen Hälfte des Kopfes mit unvollständigen und unregelmäßigen Maschen. Antennen wenig gestreckt und etwas abgeplattet. Glieder I-IV gestreckt, Glieder ab V kürzer, stärker abgeplattet und apikal verbreitert, Glied V noch etwas länger als breit, Glieder VI und VII so lang wie breit, Glieder IX und X etwas quer, Endglied wenig gestreckt, nur um ein Drittel länger als breit. Glieder I und II nur mit wenigen Tastborsten, Glied III und IV kürzer und dichter beborstet, ab Glied V mit dichter feiner Pubeszenz.

Pronotum wenig quer (PBr/PL: 1,10-1,17), kräftig gewölbt. Die nach unten umgebogenen Vorderwinkel sind rechtwinklig und kurz abgerundet, Hinterwinkel völlig verrundet. Pronotum an Vorder- und Seitenrand schmal gerandet, ohne zusätzliche Borstenpunkte. Vorderrandpunkte um mehr als das Doppelte ihres Durchmessers vom Vorderrand entfernt, mittlere Hinterrandpunkte etwas näher am Hinterrand stehend. Oberfläche des Pronotums mit sehr feiner undeutlicher Mikropunktur. Mikroskulptur kräftig, bis zum Vorderrand des Pronotums reichend, quemaschig, Maschenweite etwa zwei Maschen / 10 µm.

Elytren kurz und breit, ihre Nahtlänge etwas kleiner als die Länge des Pronotums (PL/ENL: 0,90-1,00), zusammen etwas schmäler als an den Schultern lang (EBr/ESL 0,91-0,98). Auf den Elytren befindet sich eine aus acht bis zehn Borstenpunkten bestehende Diskalborstenreihe und eine aus sechs bis neun Borsten bestehende interiore Diskalreihe. Die Anzahl der Suturalborsten beträgt acht bis zehn. Mikroskulptur deutlich, enger als auf dem Pronotum, querwellig, Maschenweite etwa drei Maschen / 10 µm. Hautflügel voll ausgebildet.

Abdomen nach hinten schmäler werdend, wenig zugespitzt. Tergit III vorn und in der Längsmitte unpunktiert, Tergite IV-VII mit kräftiger und weitläufiger, zum Hinterrand reduzierter Punktur und einer 80-140 µm langen, hellen Beborstung. Hautsaum am Hinterrand von Tergit VII deutlich ausgebildet. Mikroskulptur feiner und etwas enger als auf den Elytren (Maschenweite vier Maschen / 10 µm), auf den Tergiten vom Vorder- zum Hinterrand weitläufiger.

Beine kurz und kräftig, Tibien kräftig beborstet.

♂: Vordertarsen nicht erweitert, Sternite VII und VIII ohne Ausrandungen am Hinterrand oder geschlechtstypische Beborstung. Aedoeagus (Abb. 4g-h) 0,42-0,49 mm lang, apikal kurz abgerundet. Innenstrukturen aus einem kleinen unpaaren Sklerit und basalen Borstengruppen bestehend, Apex des unpaaren Sklerits schmal. Parameren schmal, mit vier großen und vier kleinen Borsten.

D i f f e r e n t i a l d i a g n o s e : *Mycetoporus praetextoides* unterscheidet sich wie folgt von den anderen aus dem Kaukasus und Vorderasien bekannten Arten der *M. baudueri* – Gruppe:

- von *M. laticeps* FAGEL, *M. simillimus* FAGEL und *M. phaedrus* KOLENATI durch

die hellere Färbung, die bis zum Vorderrand des Pronotums reichende Mikroskulptur, etwas kürzere Elytren und unterschiedliche Innenstrukturen des Aedoeagus,

- von *M. praetextus* FAGEL durch etwas kürzere Elytren, sowie die unterschiedliche Form des unpaaren Sklerits im Medianlobus des Aedoeagus,
- von *M. monticoloides* nov.sp. durch etwas längere Elytren und unterschiedliche Innenstrukturen des Aedoeagus.

Die Art ist zweifelsfrei mit *M. mulsanti* und *M. praetextus* nahe verwandt. Die Form des unpaaren Sklerits im Medianlobus des Aedoeagus entspricht der Ausbildung dieses Merkmals bei *M. mulsanti*, von dessen Verbreitungsgebiet die Art aber offenbar geographisch isoliert ist.

D e r i v a t i o n o m i n i s : Der Artname *praetextoides* bezieht sich auf die habituelle Ähnlichkeit der Art mit *M. praetextus* FAGEL.

V e r b r e i t u n g u n d B i o n o m i e : Bisher aus Armenien und Berg-Karabach bekannt (Abb. 10). Die vorliegenden Exemplare wurden in Höhenlagen zwischen 1350 und 2500 m aus Streu in verschiedenen Laub- und Mischwäldern, an Waldrändern, oft in Galeriewald in der Nähe von Bachufern, aus Laubstreu und Genist gesiebt.

Danksagung

Für die Möglichkeit, Typen und Material aus ihren Sammlungen zu untersuchen, danke ich den im Abschnitt "Material und Methoden" genannten Institutionen, Kustoden und Kollegen. Besonderer Dank gilt M. Kalshian, T. Ghrejyan und G. Karagyan (Yerevan) für ihre Hilfe bei der Planung und Durchführung dreier Exkursionen in Armenien und Berg-Karabach. B. Jaeger (Berlin) danke ich für seine Unterstützung bei der Anfertigung von Habitus-Aufnahmen.

Zusammenfassung

Die von G. FAGEL (1958, 1965) beschriebenen *Mycetoporus*-Arten werden revidiert und abgebildet. Vier Arten, *M. rondaensis* FAGEL, 1958, *M. praetextus* FAGEL, 1965, *M. laticeps* FAGEL, 1965 und *M. simillimus* FAGEL, 1965 werden als valid bestätigt. *Mycetoporus adonis* FAGEL, 1965, wird mit *M. ignidorsum* EPPELSHEIM, 1880 synonymisiert. Eine Revision der in Armenien vorkommenden Arten der *M. baudueri*-Gruppe ergibt das Vorhandensein von drei validen Arten, *M. phaedrus* (KOLENATI, 1846), der aus der Synonymie von *M. baudueri* MULSANT & REY, 1875 revalidiert wird, sowie zwei neuen Arten: *M. monticoloides* nov.sp. und *M. praetextoides* nov.sp. Für alle behandelten Arten der *M. baudueri*-Gruppe werden Habitus und männliche primäre Geschlechtsmerkmale illustriert und ihre Verbreitung auf Karten dargestellt

Literatur

- ASSING V. (2015): On the Staphylinidae of the Greek island Chios (Insecta: Coleoptera). — Linzer biologische Beiträge **47** (1): 43-55.
 ASSING V. (2015): On the Staphylinidae (Coleoptera) of Crete II. Seven new species, a new synonymy, and additional records. — Stuttgarter Beiträge zur Naturkunde A, Neue Serie **8**: 95-112.

- ASSING V. (2015): On the Staphylinidae of the Greek island Samos (Coleoptera: Staphylinidae). — Koleopterologische Rundschau **85**: 81-102.
- ASSING V. (2016): On the Staphylinidae of the Greek island Lesbos II, with supplementary notes on the fauna of Samos and Chios (Coleoptera: Staphylinidae). — Koleopterologische Rundschau **86**: 103-138.
- ASSING V. (2016): On the Staphylinidae of the Greek island Karpathos (Insecta: Coleoptera). — Linzer biologische Beiträge **48** (1): 235-263.
- ASSING V. (2017): On the Staphylinidae of the Greek island Kos, with an appendix on Carabidae and additional records from other islands (Insecta: Coleoptera). — Linzer biologische Beiträge **49** (1): 191-205.
- ASSING V. (2017): On the Staphylinidae of the Greek island Ikaria, with supplementary notes on the fauna of Samos (Coleoptera: Staphylinidae). — Koleopterologische Rundschau **87**: 89-116.
- ASSING V., SCHÜLKE M., BRACHAT V. & H. MEYBOHM (2018): On the Staphylinidae of the Greek island Corfu (Insecta: Coleoptera). — Contributions of Entomology **68** (1): 31-67.
- CAMPBELL J. M. (1991): A revision of the genera *Mycetoporus* MANNERHEIM and *Ischnosoma* STEPHENS (Coleoptera: Staphylinidae: Tachyporinae) of North and Central America. — Memoirs of the Entomological Society of Canada **156**: 1-169.
- FAGEL G. (1958): Contribution à la connaissance des Staphylinidae. LII. Sur quelques espèces du bassin méditerranéen. — Bulletin et Annales de la Société Royal d'Entomologie de Belgique **94** (9-10): 232-248.
- FAGEL G. (1965): Contribution à la connaissance des Staphylinidae. XC. remarques sur le genre *Mycetoporus* Mannh. et description de nouvelles espèces de mediterranee orientale. — Bulletin et Annales de la Société Royal d'Entomologie de Belgique **101** (3): 29-39.
- INTERNATIONAL COMMISSION ON ZOOLOGICAL NOMENCLATURE (1999): International Code of Zoological Nomenclature. Fourth Edition. London: International Trust for Zoological Nomenclature, XXIX + 306 S.
- KOLENATI F. A. R. (1846): Meletemata entomologica. Fascicule III. Brachelytra Caucasi cum distributione geographica adnexis pselaphinis, scydmaenis, notoxidibus et xylophagis. — Petropoli: Typis Imperialis Academiae Scientiarum, 44 S., Taf. XII-XIV.
- LUZE G. (1901): Bolitobiini. Revision der paläarktischen Arten der Staphyliniden-Gattung *Bryocharis* BOISD. et LAC., *Bolitobius* MANNH., *Bryoporus* KRAATZ und *Mycetoporus* MANNH. — Verhandlungen der Kaiserlich-Königlichen Zoologisch-Botanischen Gesellschaft in Wien **51**: 662-746.
- SCHÜLKE M. (2003a): Zur Taxonomie und Verbreitung westpaläarktischer Arten der Gattungen *Bryoporus* KRAATZ und *Mycetoporus* MANNERHEIM (Coleoptera, Staphylinidae, Tachyporinae). — Entomologische Blätter **99** (1-3): 27-54.
- SCHÜLKE M. (2003b): Zur Taxonomie und Verbreitung von *Mycetoporus montanus* Luze, 1901, einer holarktisch verbreiteten Art mit arkoalpin disjunktem Verbreitungsgebiet in Europa (Coleoptera, Staphylinidae, Tachyporinae). — Entomologische Blätter **98** (3): 199-209.
- SCHÜLKE M. (2004): Zur Taxonomie und Verbreitung von *Mycetoporus altaicus* LUZE, 1901, einer boreomontan disjunkt verbreiteten Art in Europa (Coleoptera, Staphylinidae, Tachyporinae). — Entomologische Blätter **100** (2): 135-143.
- SCHÜLKE M. (2005): Zur Verbreitung und Synonymie von *Mycetoporus maerkelii* KRAATZ 1857 (Coleoptera, Staphylinidae, Tachyporinae). — Linzer biologische Beiträge **37** (2): 1633-1639.
- SCHÜLKE M. (2007): Neue Meldungen und ein weiteres Synonym von *Mycetoporus altaicus* LUZE 1901 (Coleoptera, Staphylinidae, Tachyporinae). — Linzer biologische Beiträge **39** (1): 633-636.
- SCHÜLKE M. (2009): Über *Mycetoporus monticola* FOWLER und ähnliche mitteleuropäische Arten (Coleoptera, Staphylinidae, Tachyporinae). — Entomologische Blätter **105**: 1-18.

SCHÜLKE M. & M. KOCIAN (2000): Revision der Artgruppe des *Mycetoporus nigricollis* STEPHENS, 1835 (Coleoptera, Staphylinidae, Tachyporinae). — Entomologische Blätter **96** (2): 81-126.

Anschrift des Verfassers: Michael SCHÜLKE
 Museum für Naturkunde Berlin
 Leibniz-Institut für Evolutions- und Biodiversitätsforschung
 Invalidenstr. 43, 10115 Berlin, Germany
 E-Mail: mschuelke.berlin@t-online.de

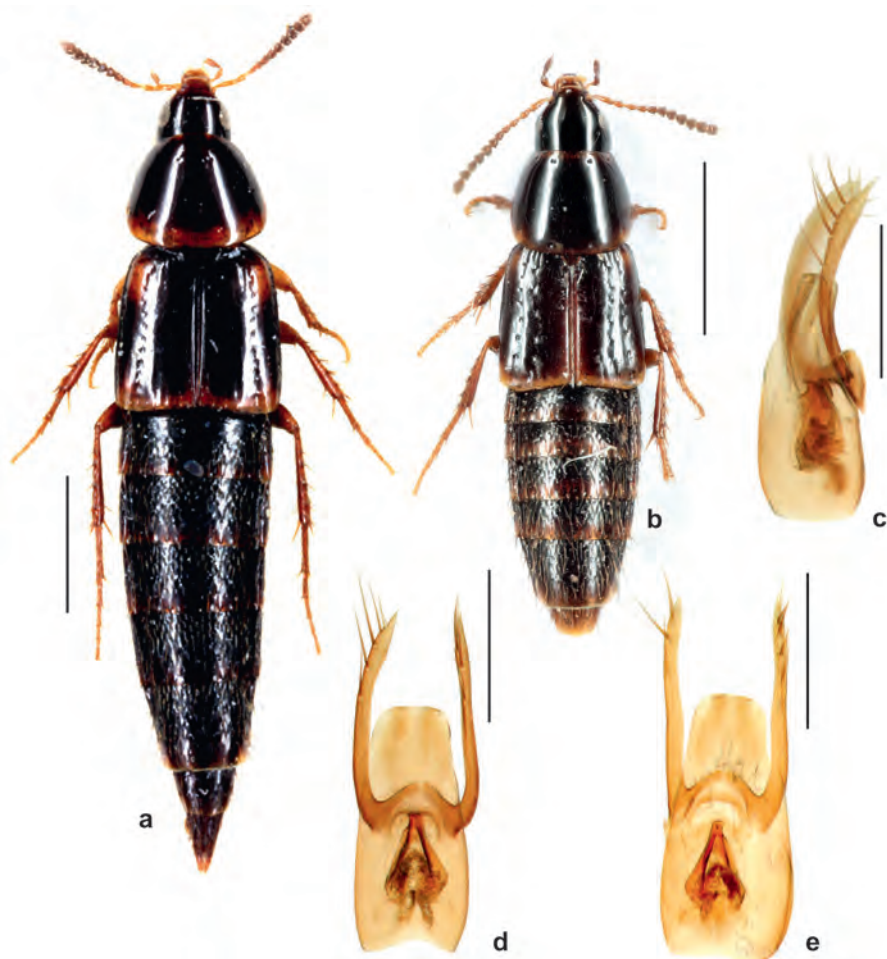


Abb. 1a-e: Holotype of *Mycetoporus adonis* nov.sp. (a), *Mycetoporus laticeps* FAGEL (b-e): (a) Habitus; (b) Habitus, Türkei, Adana; (c) Aedoeagus, lateral, Zypern, Olymp; (d) Aedoeagus, dorsal, Zypern, Olymp; (e) Aedoeagus, dorsal, Türkei, Kahramanmaraş. Maßstäbe: 1.0 mm (a, b); 0.2 mm (c-e).

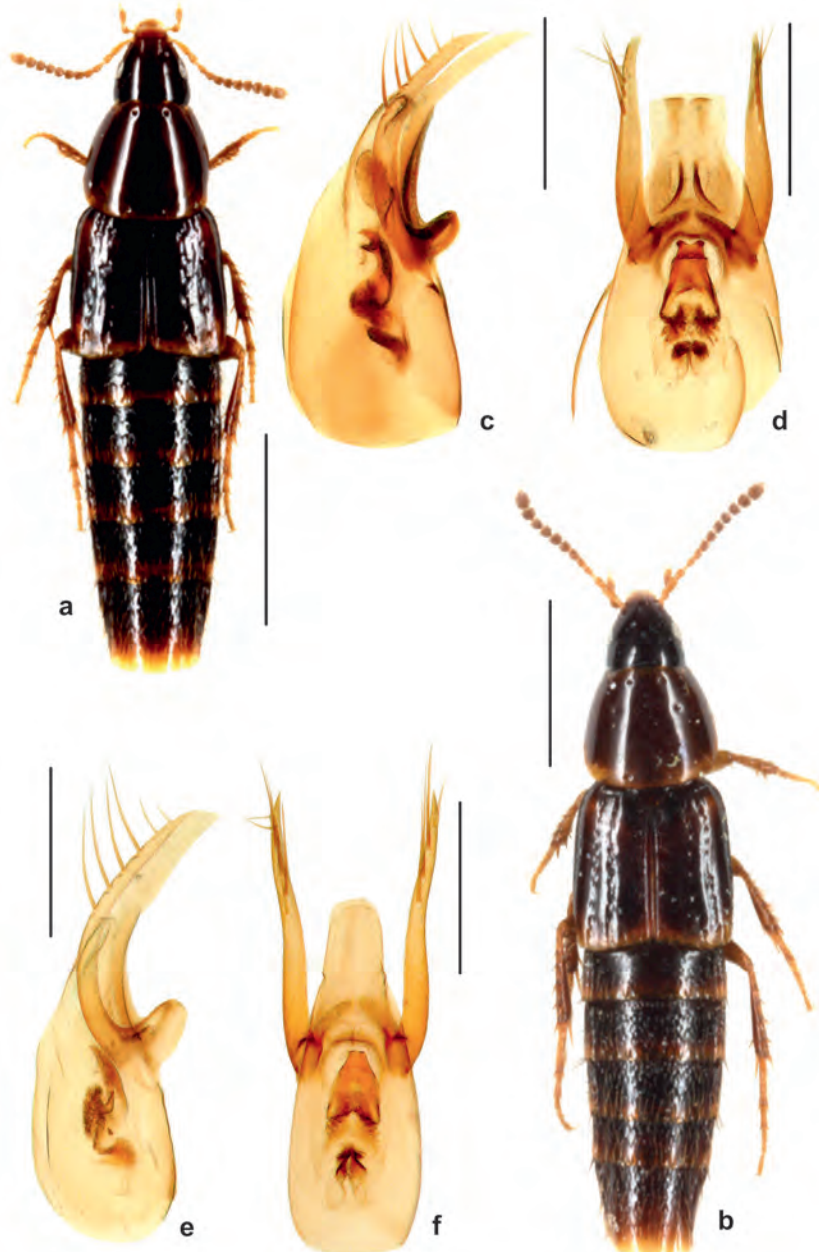


Abb. 2a-f: *Mycetoporus simillimus* FAGEL (a, c, d) und *M. praetextus* FAGEL (b, e, f): (a) Habitus, Libanon, Nabeh Safa; (b) Habitus, Libanon, Kartaba [PT von *M. simillimus*]; (c) Aedoegagus, lateral, Zypern, Droseia; (d) Aedoegagus dorsal, Zypern, Droseia; (e) Aedoegagus lateral, Zypern, Paphos; (f) Aedoegagus dorsal Zypern, Paphos; Maßstäbe: 1.0 mm (a, b); 0.2 mm (c-f).

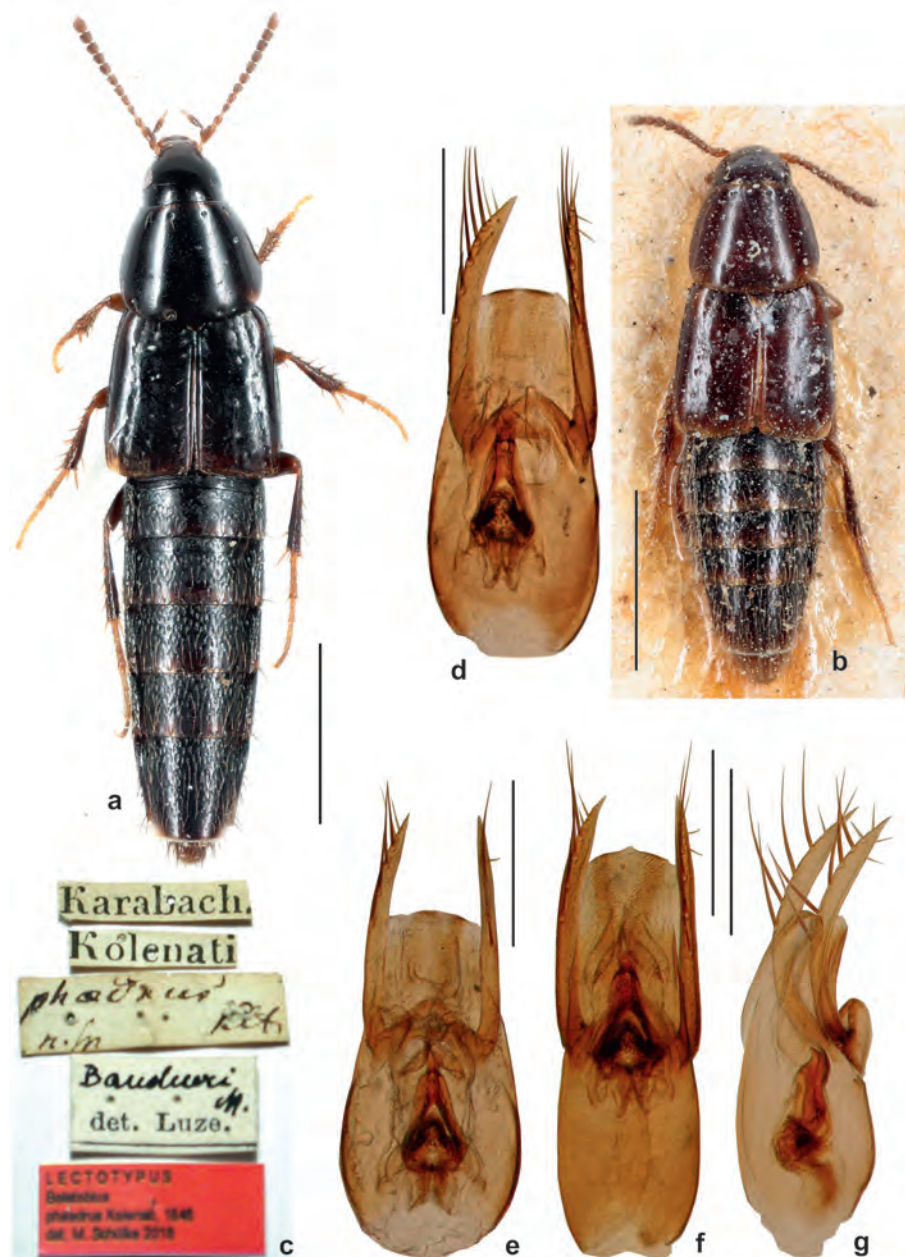


Abb. 3a-g: *Mycetoporus phaedrus* KOLENATI: (a) Habitus; (b) Lectotypus; (c) Etikettierung des Lectotypus; (d) Aedoeagus, dorsal, Armenien, Meghri-Pass; (e) Aedoeagus, dorsal, Nagorno-Karabakh, WNW Stepanakert; (f) Aedoeagus, dorsal, Türkei, Trabzon; (g) Aedoeagus, lateral, Armenien, W Goris. Maßstäbe: 1.0 mm (a, b); 0.2 mm (d-g).

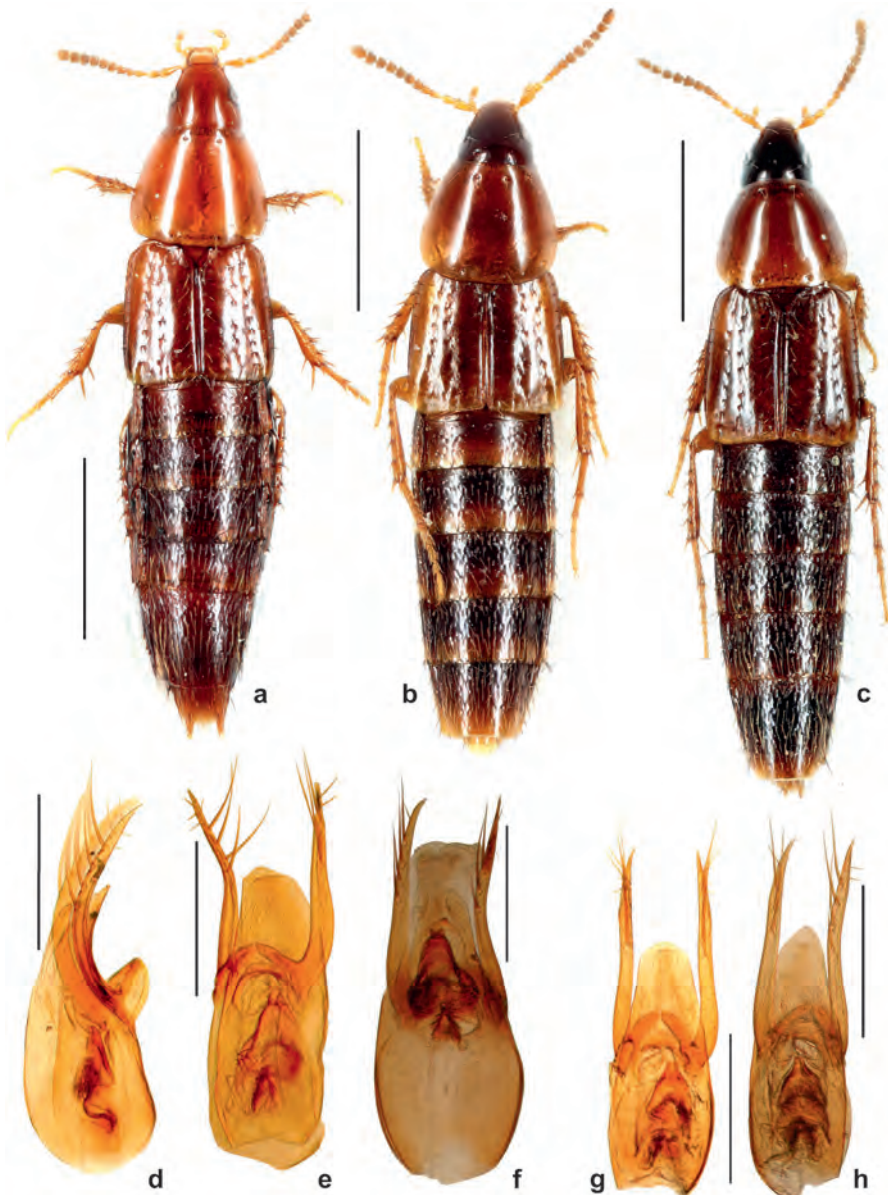


Abb. 4a-h: *Mycetoporus monticoloides* nov.sp. (a, b, d-f) und *M. praetextoides* nov.sp. (c, g, h): (a) Habitus, Holotypus; (b) Habitus, Russland, Dombai; (c) Habitus, Armenien, S Meghri-Pass; (d) Aedoeagus, lateral, Türkei, Trabzon; (e) Aedoeagus, dorsal, Georgien, Mzcheta; (f) Aedoeagus, ventral, Türkei, Gümüşhane; (g, h) Aedoeagi, dorsal, Armenien, S Meghri-Pass. Maßstäbe: 1.0 mm (a-c); 0.2 mm (d-h).

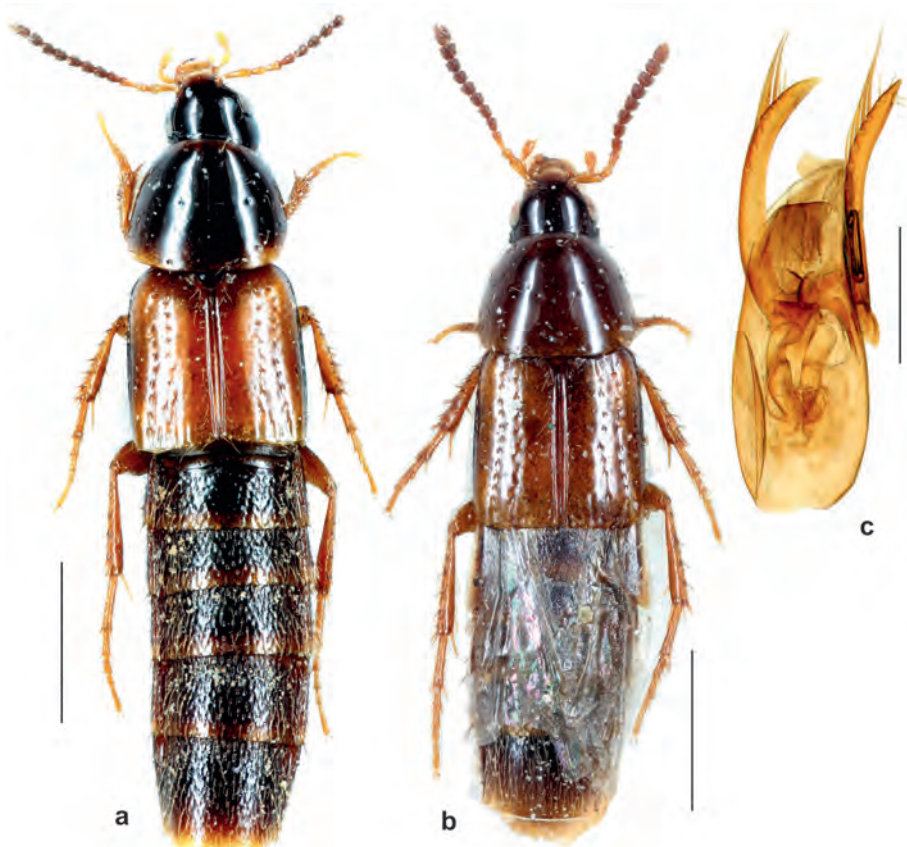


Abb. 5a-c: *Mycetoporus rondaensis* FAGEL: (a) Habitus, Holotypus; (b) Habitus, Paratypus (c) Aedeagus dorsal. Maßstäbe: 1.0 mm (a-b); 0.2 mm (c).



Abb. 6: Verbreitung von *Mycetoporus laticeps* FAGEL



Abb. 7: Verbreitung von *Mycetoporus simillimus* FAGEL im östlichen Mittelmeergebiet

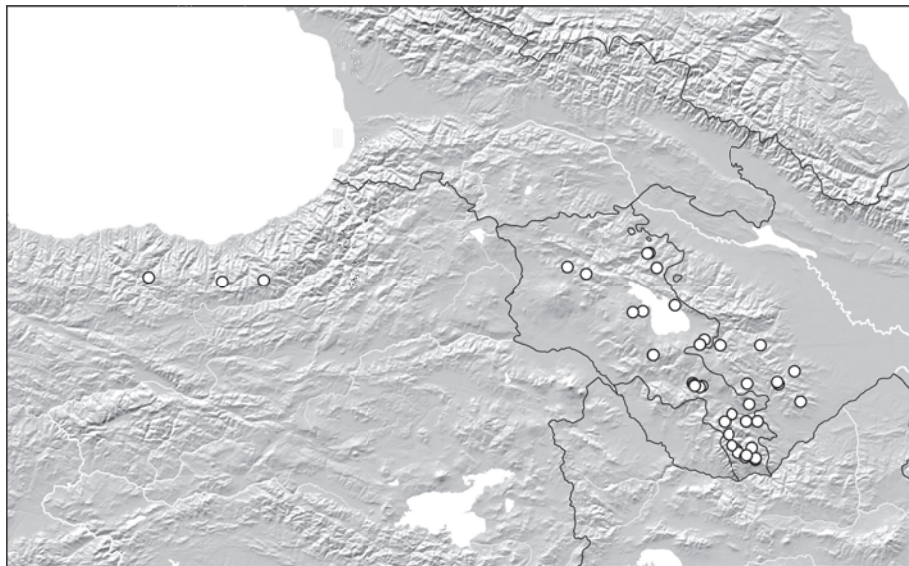


Abb. 8: Verbreitung von *Mycetoporus phaedrus* KOLENATI

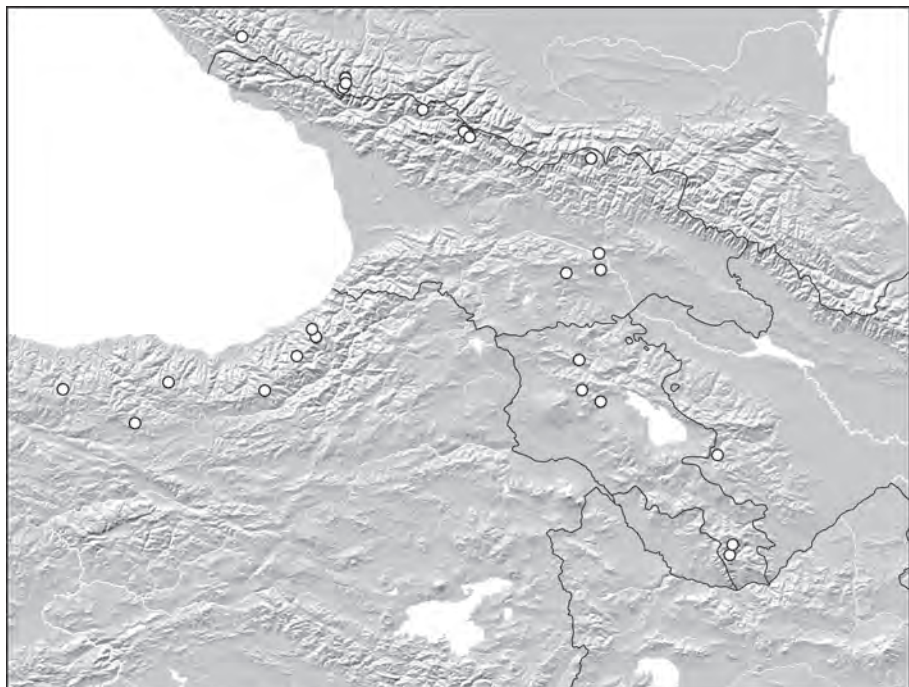


Abb. 9: Verbreitung von *Mycetoporus monticoloides* nov.sp.

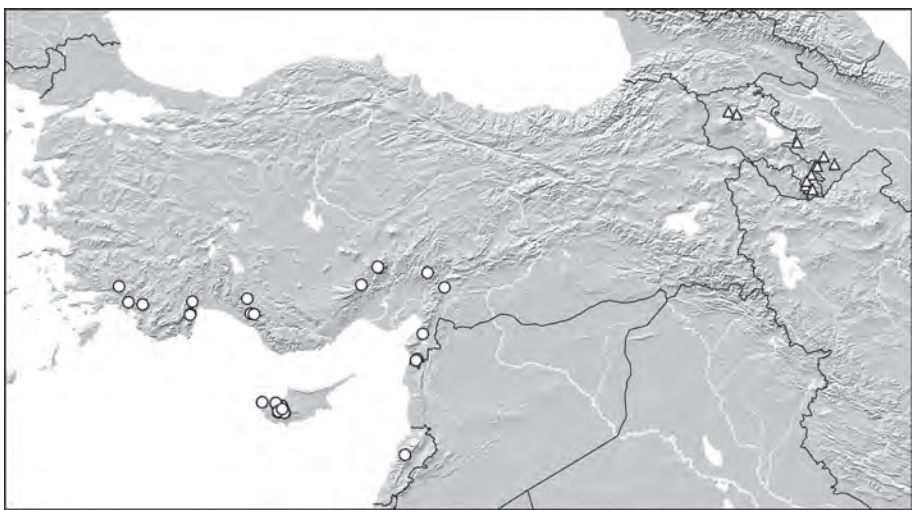


Abb. 10: Verbreitung von *Mycetoporus praetextus* FAGEL (Kreise) und *M. praetextoides* nov.sp. (Dreiecke)

ZOBODAT - www.zobodat.at

Zoologisch-Botanische Datenbank/Zoological-Botanical Database

Digitale Literatur/Digital Literature

Zeitschrift/Journal: [Linzer biologische Beiträge](#)

Jahr/Year: 2019

Band/Volume: [0051_1](#)

Autor(en)/Author(s): Schülke Michael

Artikel/Article: [Zur Identität der von Gaston Fagel beschriebenen Arten der Gattung Mycetoporus MANNERHEIM, 1830 mit Beschreibung neuer Arten der Mycetoporus baudueri-Gruppe \(Coleoptera, Staphylinidae, Tachyporinae\) 473-498](#)